

Chiral Tertiary Amine Catalyzed Asymmetric [4+2] Cyclization of 3-Aroylcoumarines with 2,3-Butadienoate

Jun-Lin Li ¹, Xiao-Hui Wang ¹, Jun-Chao Sun¹, Yi-Yuan Peng¹, Cong-Bin Ji² and Xing-Ping Zeng^{1*}

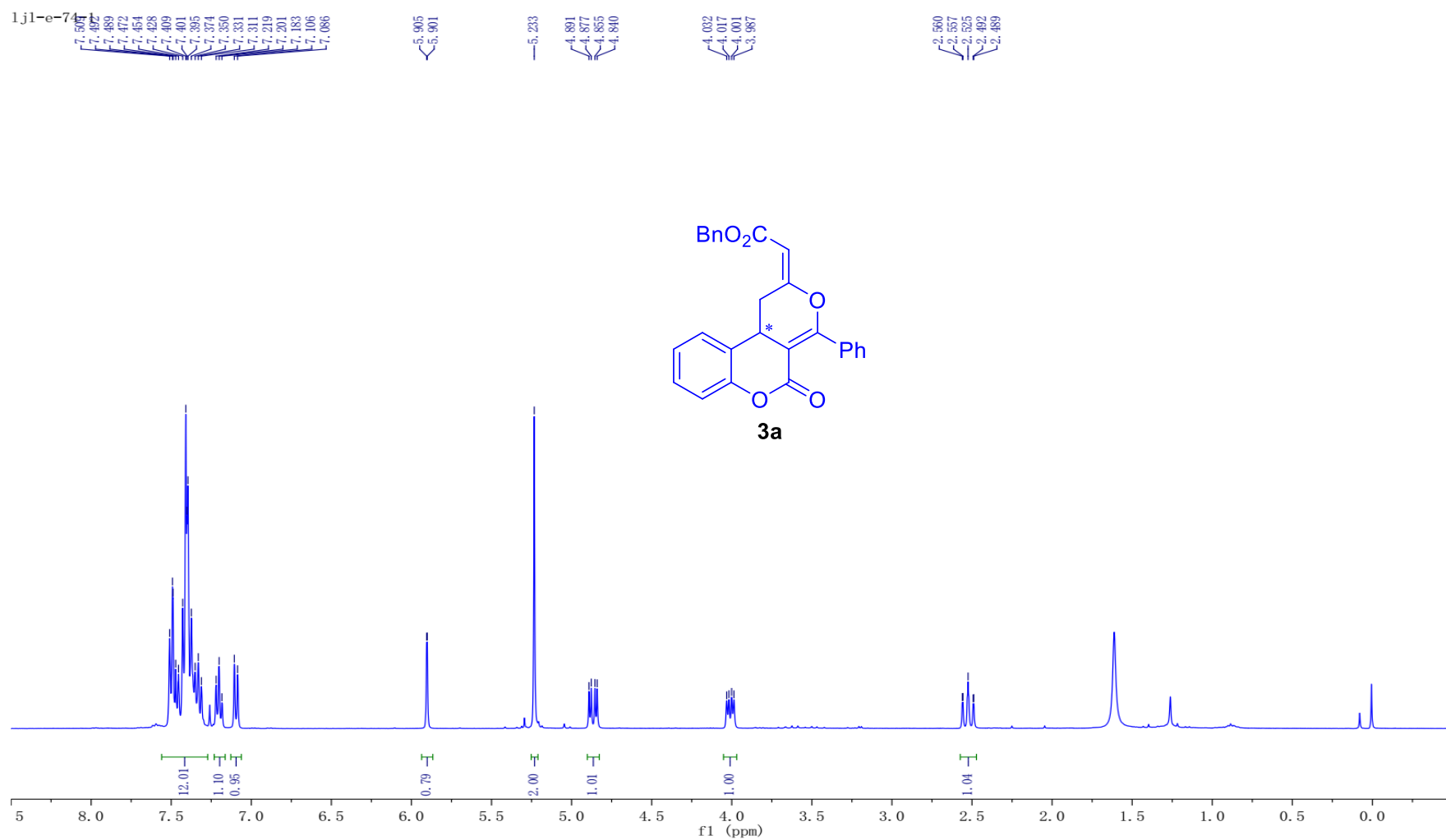
¹ Key Laboratory of Small Functional Organic Molecule, College of Chemistry and Chemical Engineering, Jiangxi Normal University, Nanchang, Jiangxi 330022, China

² Jiangxi Provincial Research of Targeting Pharmaceutical Engineering Technology, Shangrao Normal University, Shangrao, Jiangxi, 334001, China

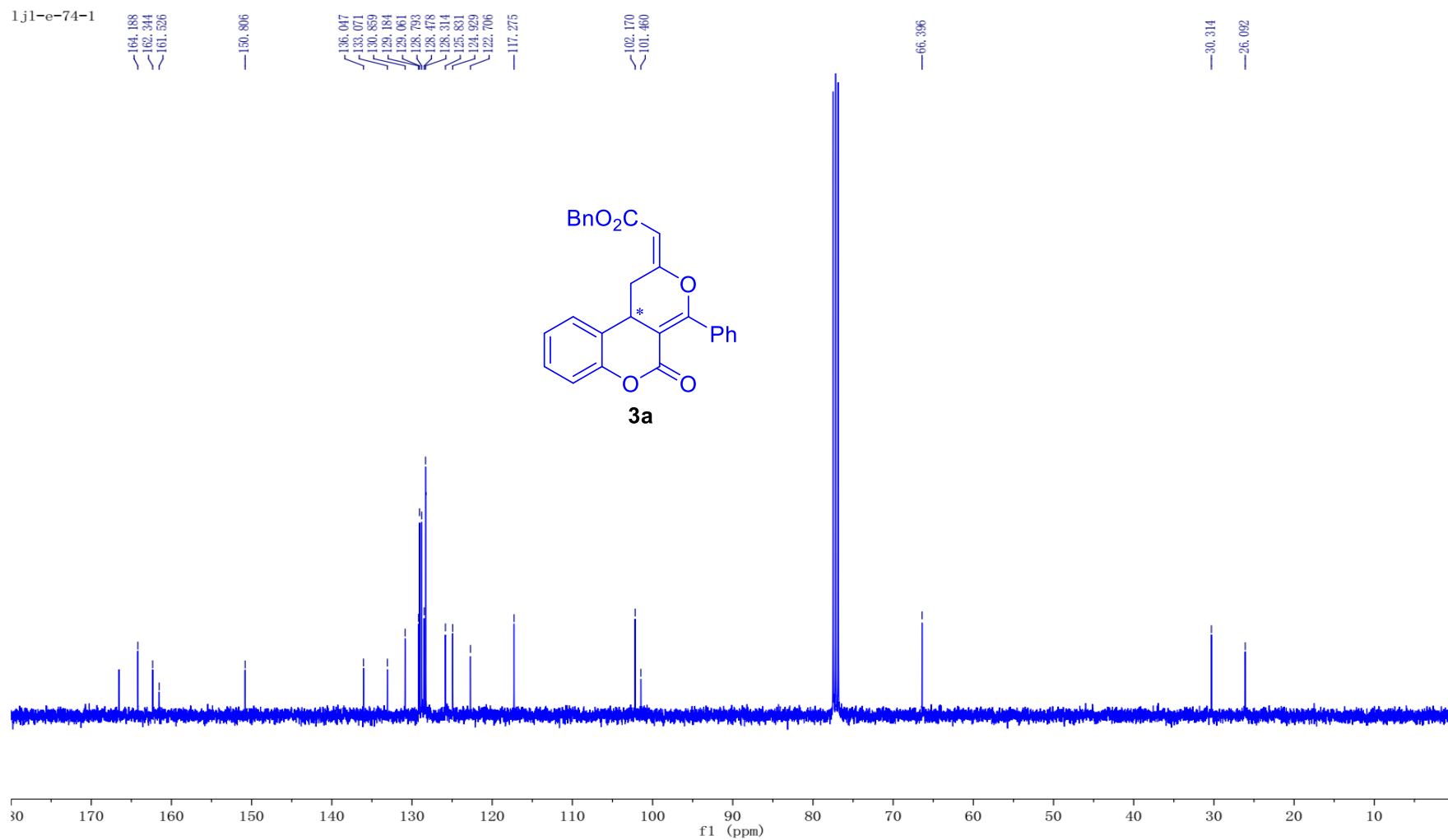
* Correspondence: 005173@jxnu.edu.cn;

Contents	Page
1. NMR Spectrum	S2-S35
2. HLPC spectrum	S36-S52

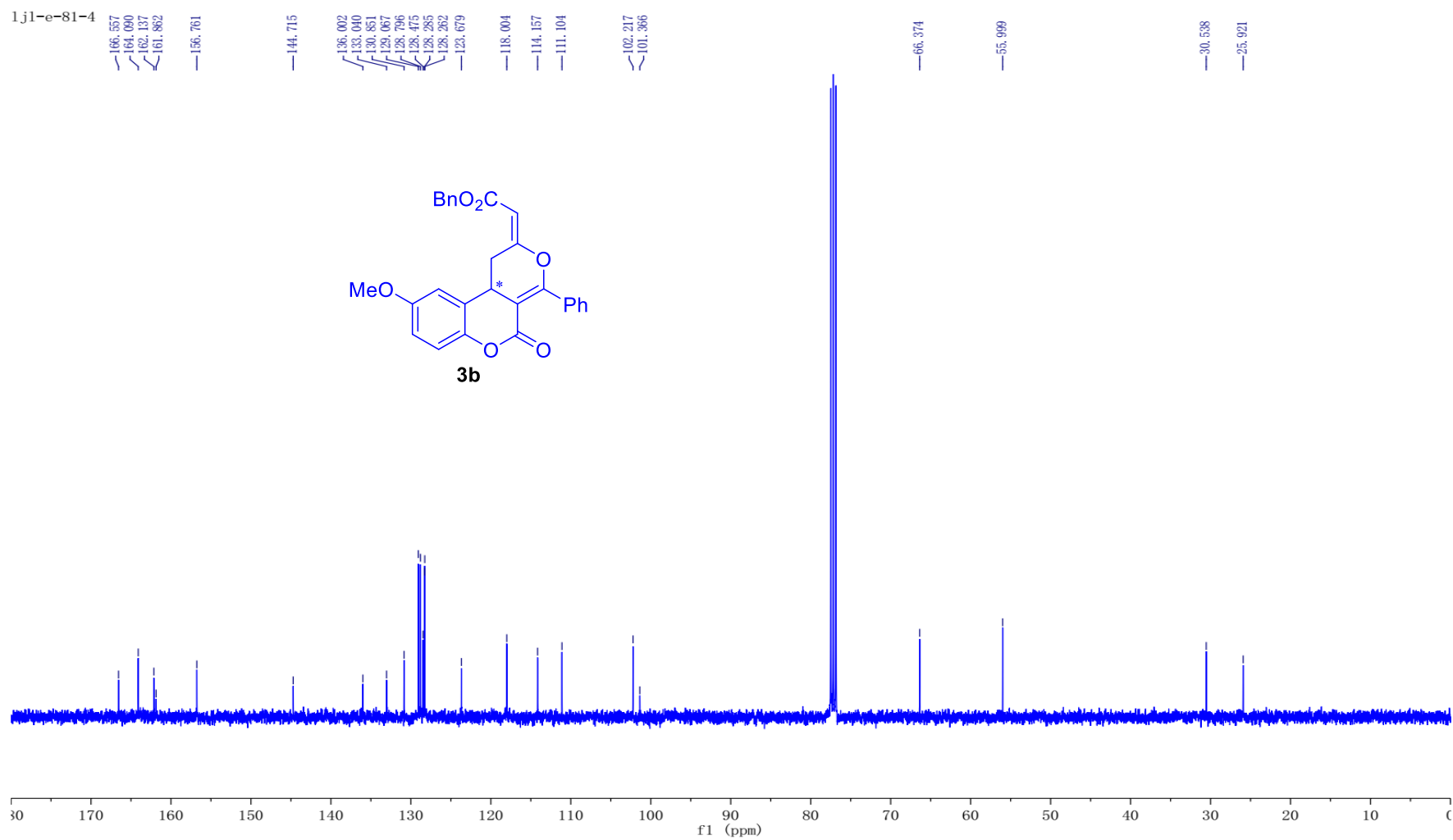
¹H NMR Spectrum (400 MHz, Chloroform-*d*) of **3a**



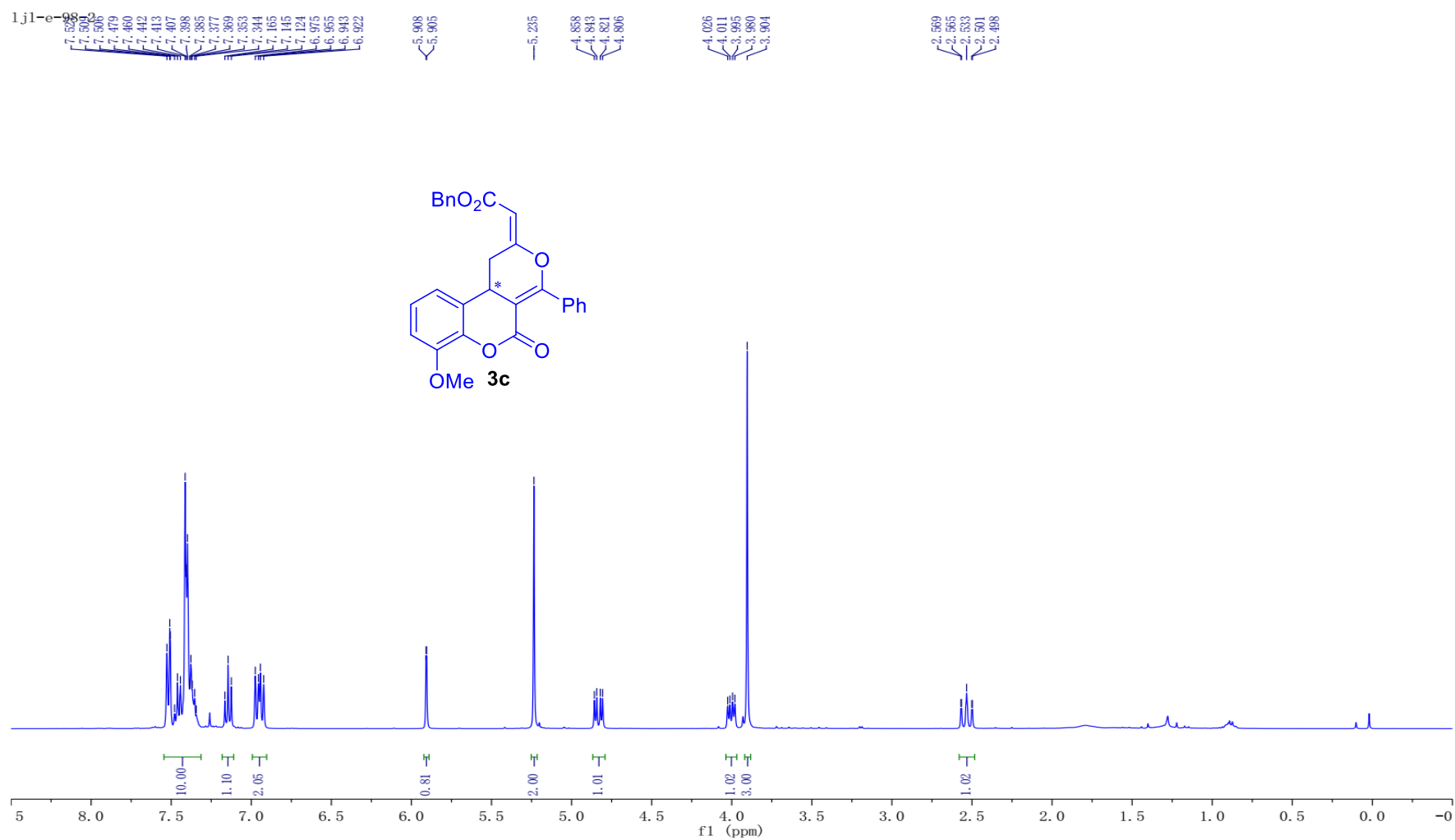
^{13}C $\{^1\text{H}\}$ NMR Spectrum (101 MHz, Chloroform-*d*) of **3a**



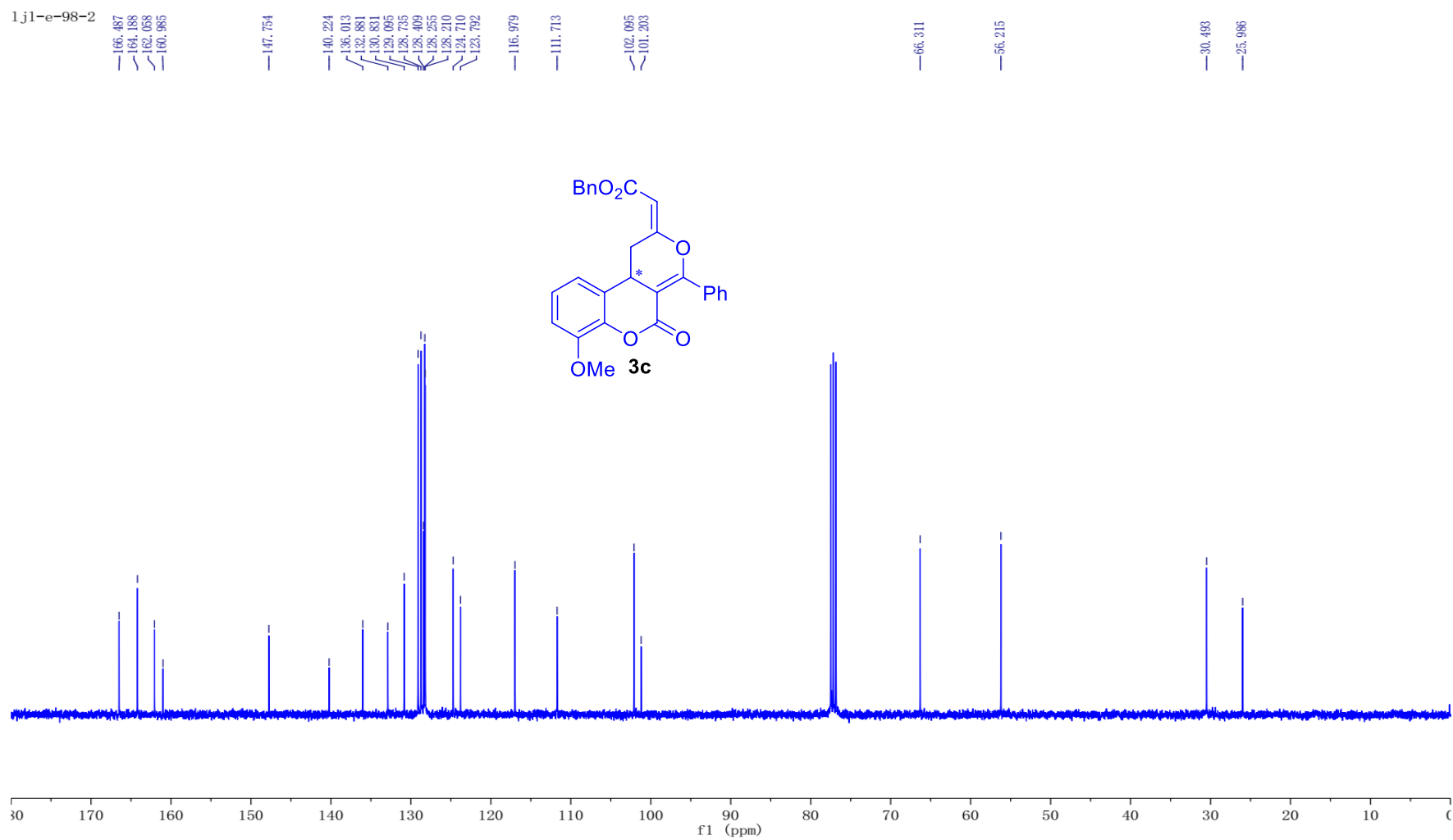
^{13}C $\{^1\text{H}\}$ NMR Spectrum (101 MHz, Chloroform- d) of **3b**



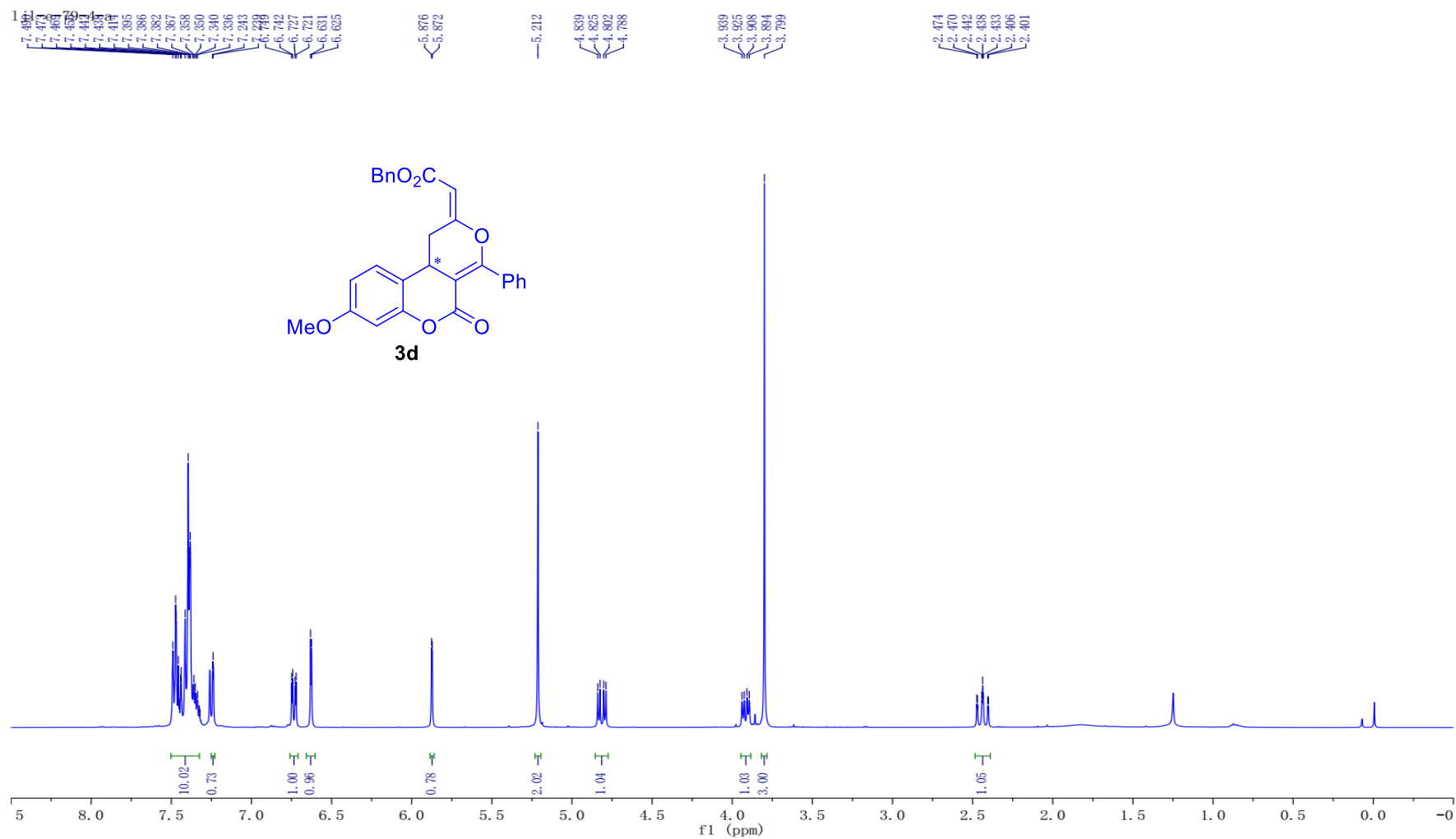
¹H NMR Spectrum (400 MHz, Chloroform-*d*) of **3c**



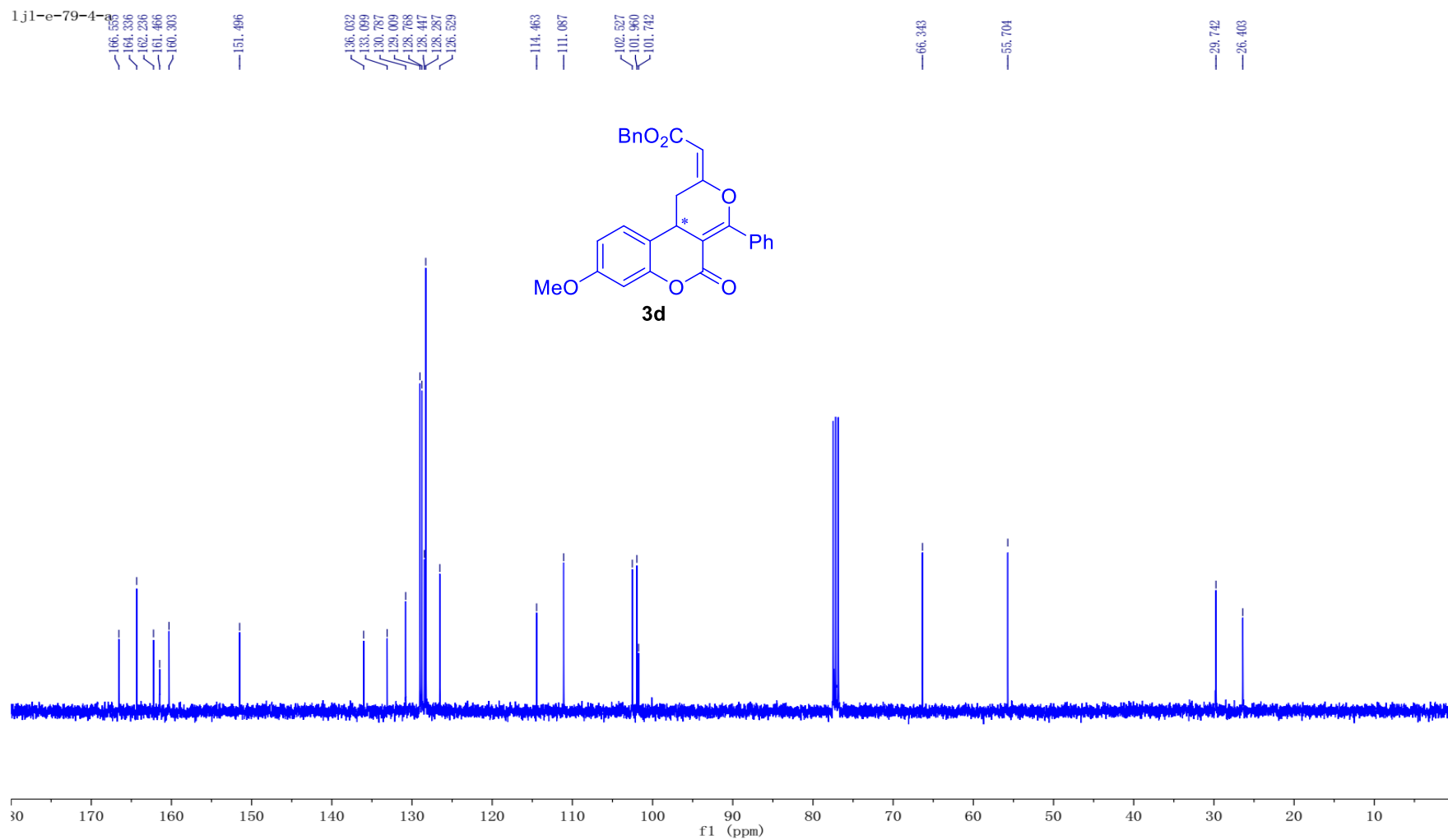
^{13}C $\{^1\text{H}\}$ NMR Spectrum (101 MHz, Chloroform-*d*) of **3c**



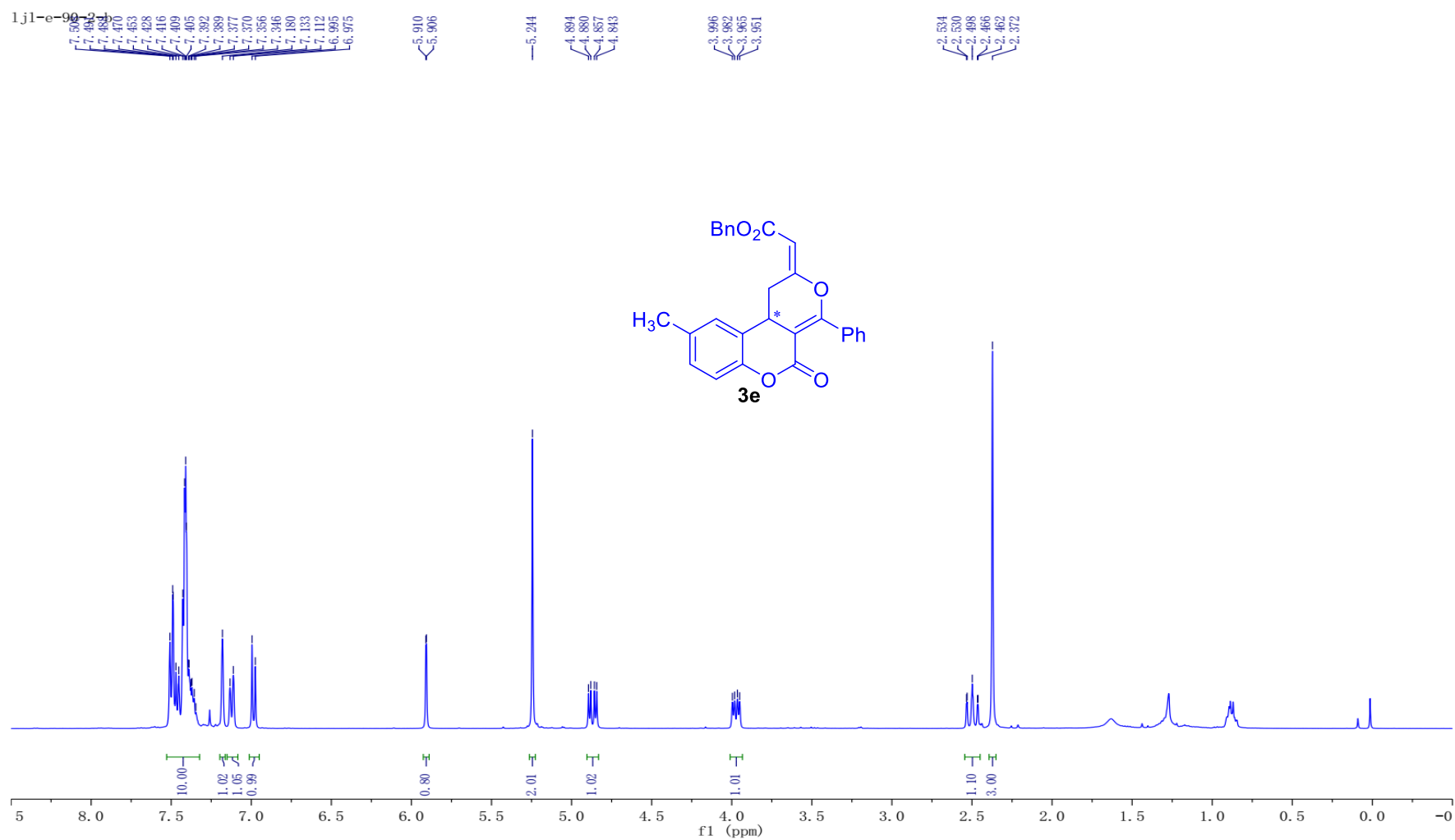
¹H NMR Spectrum (400 MHz, Chloroform-*d*) of **3d**



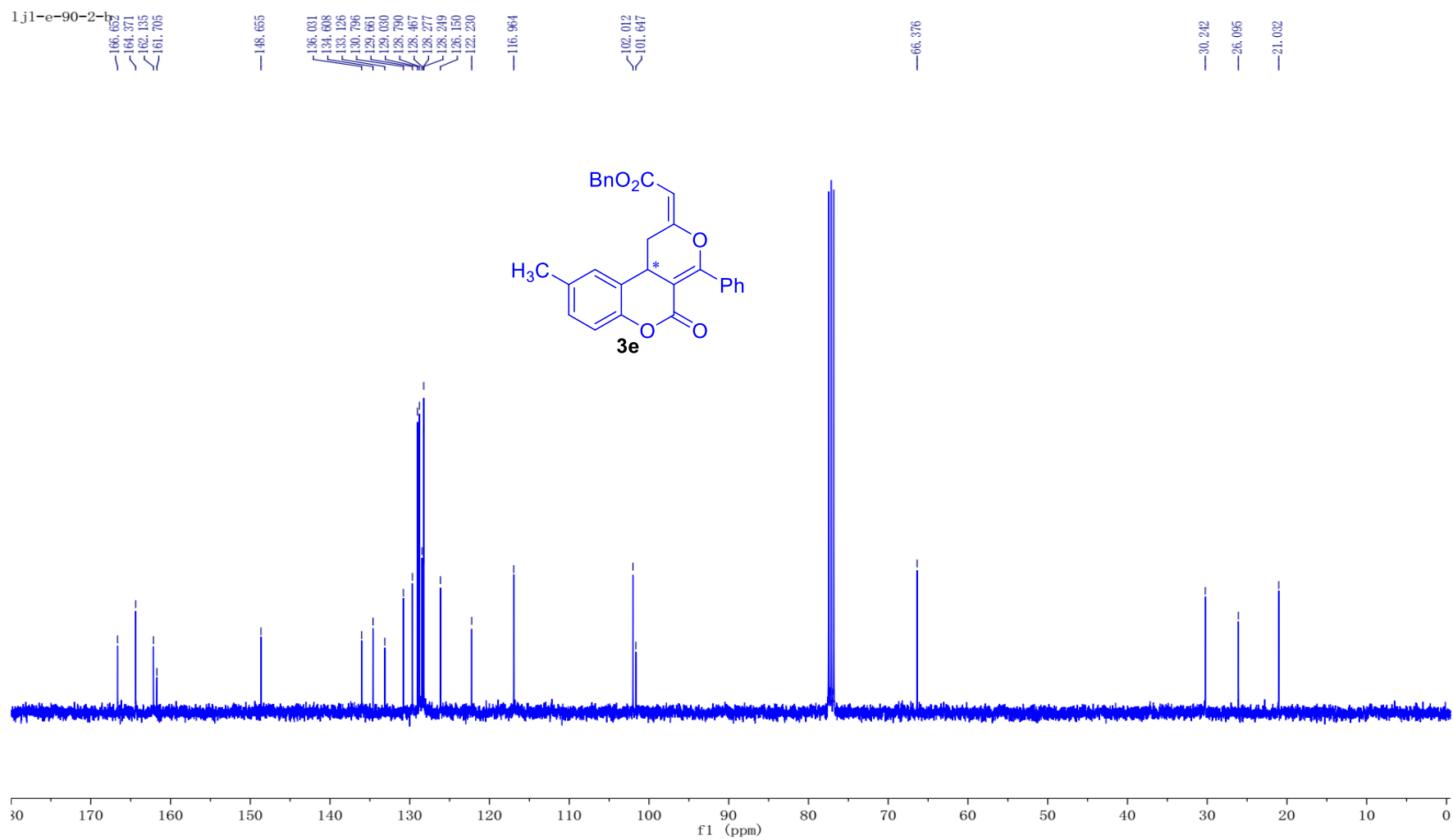
^{13}C { ^1H } NMR Spectrum (101 MHz, Chloroform-*d*) of **3d**



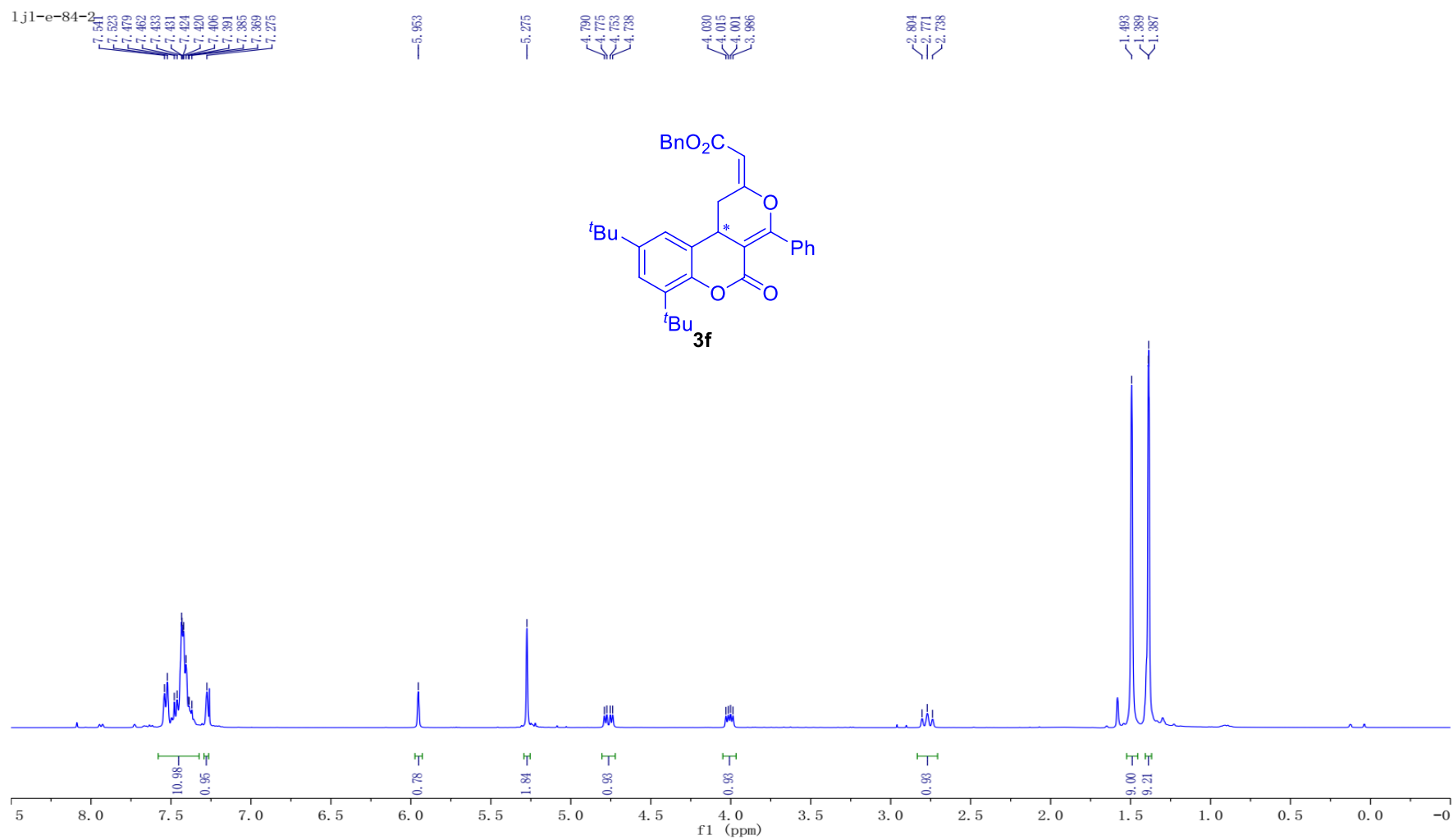
¹H NMR Spectrum (400 MHz, Chloroform-*d*) of **3e**



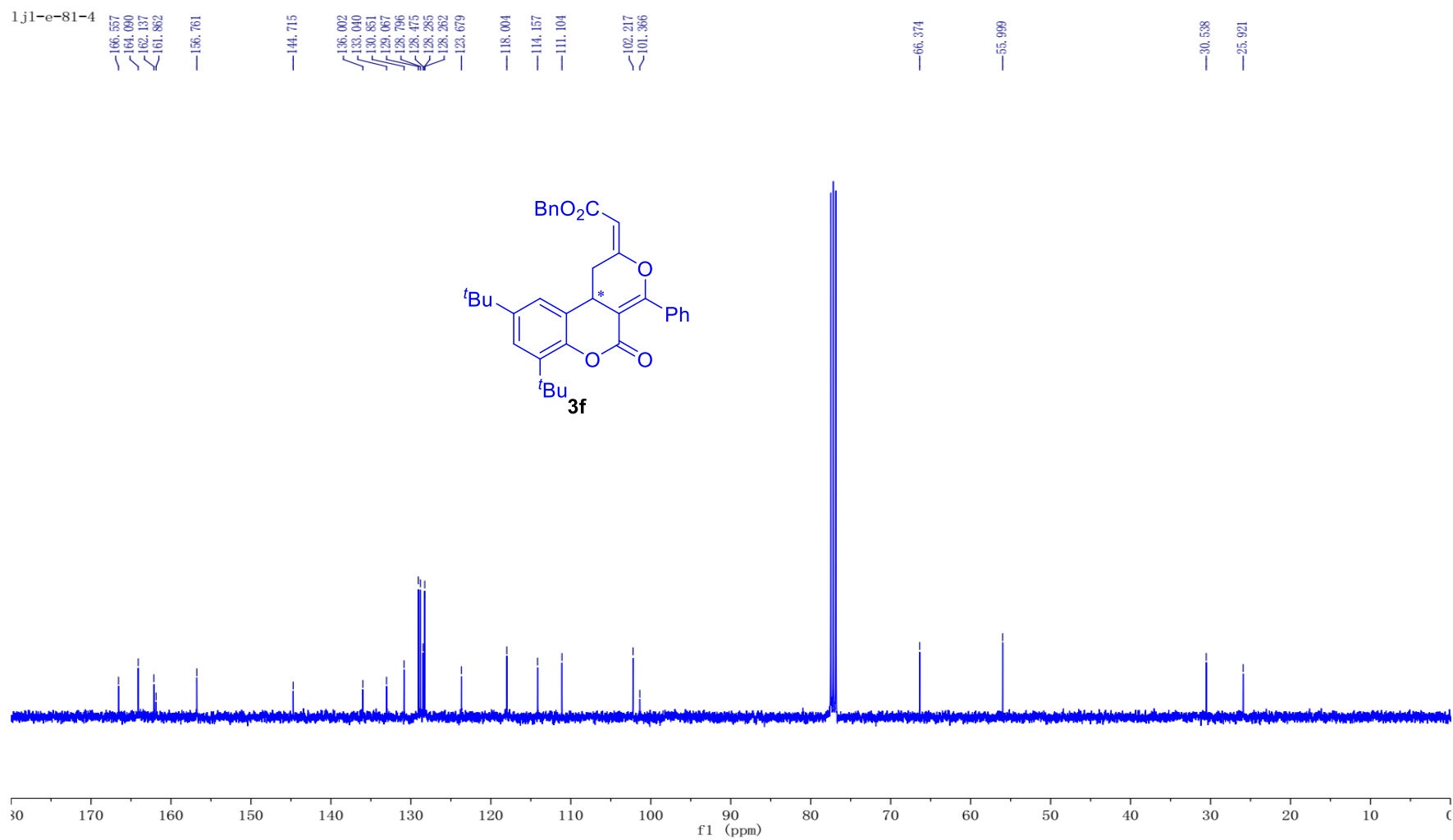
^{13}C $\{^1\text{H}\}$ NMR Spectrum (101 MHz, Chloroform-*d*) of **3e**



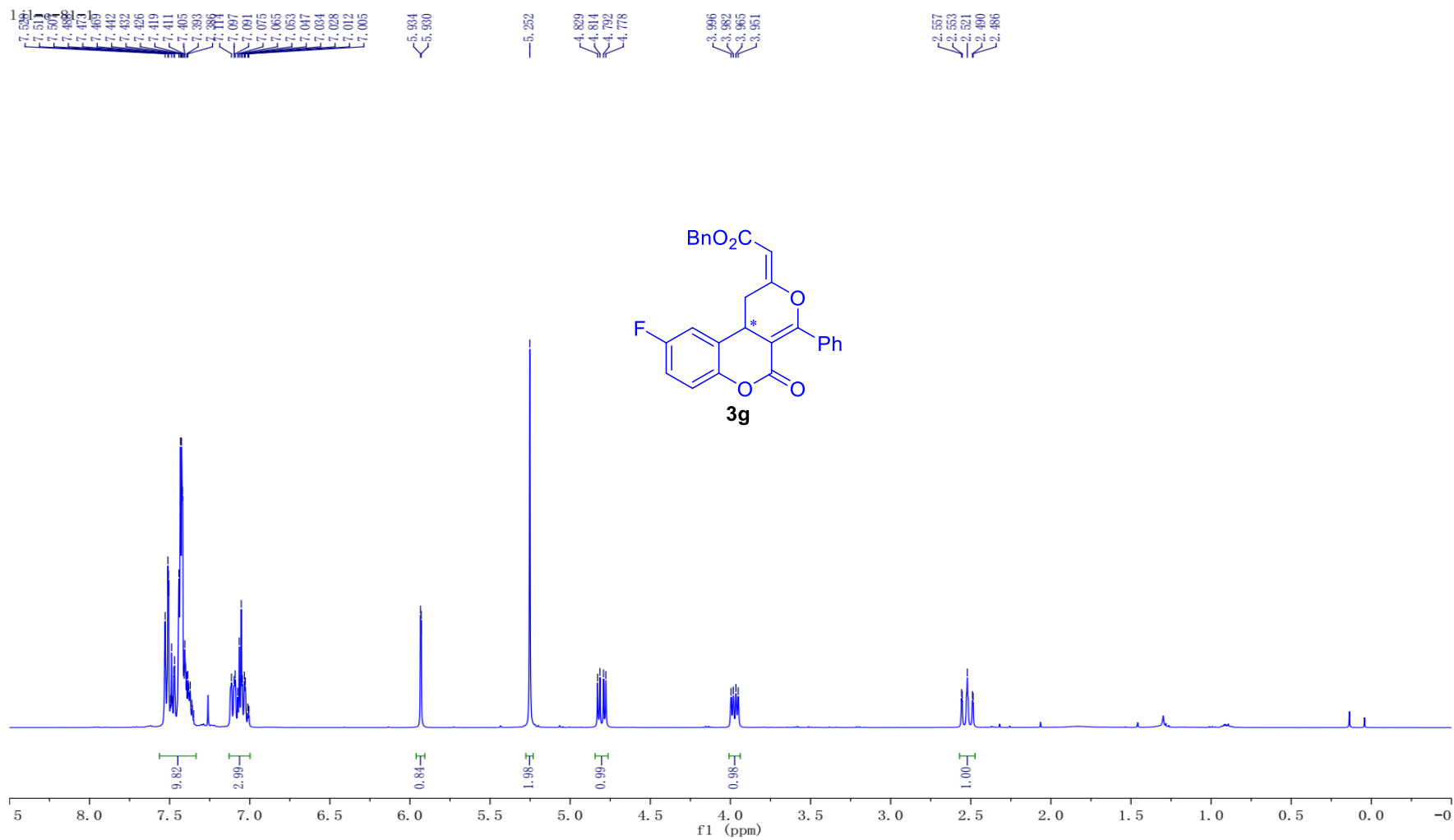
¹H NMR Spectrum (400 MHz, Chloroform-*d*) of **3f**



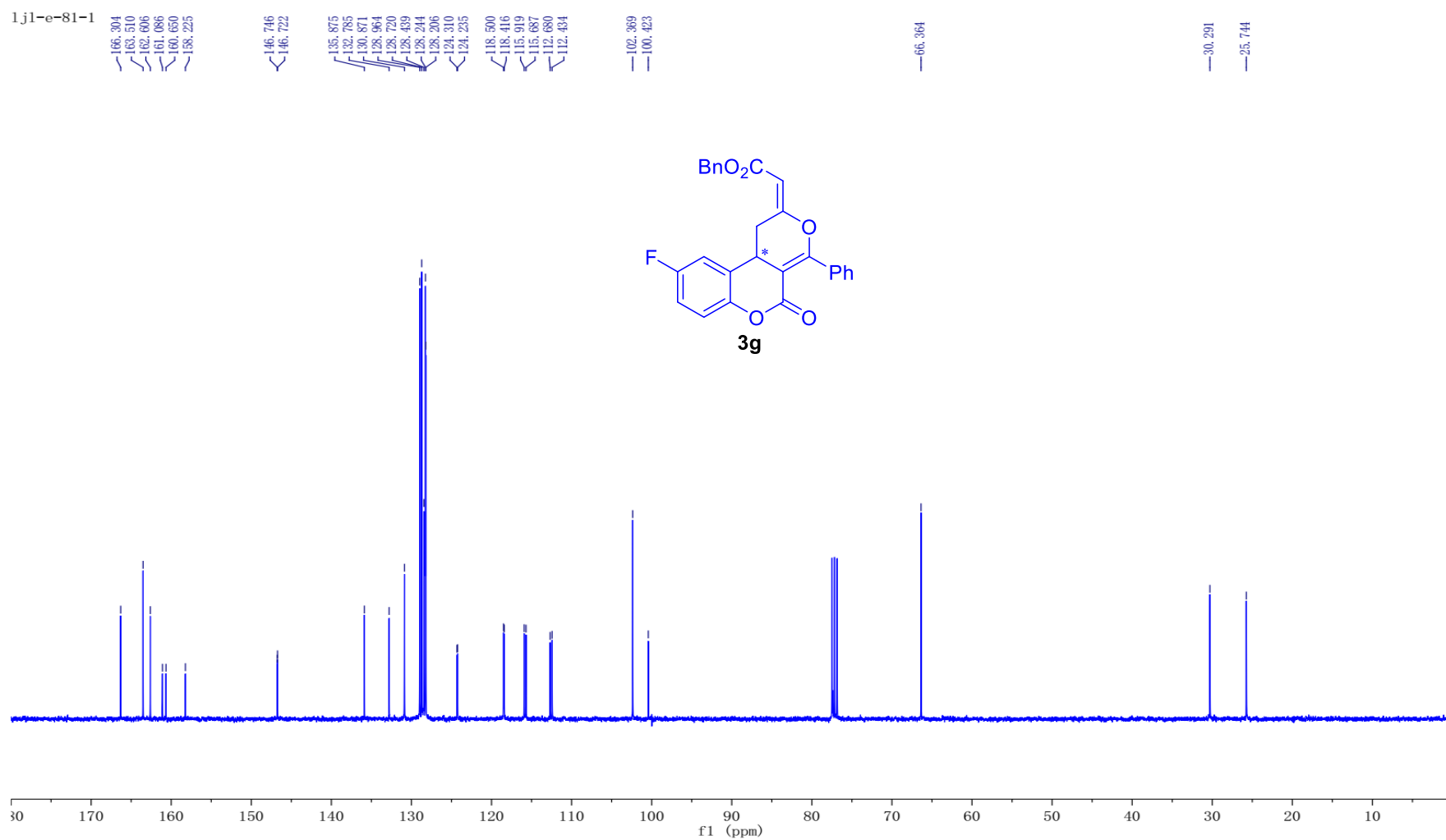
^{13}C $\{^1\text{H}\}$ NMR Spectrum (101 MHz, Chloroform-*d*) of **3f**



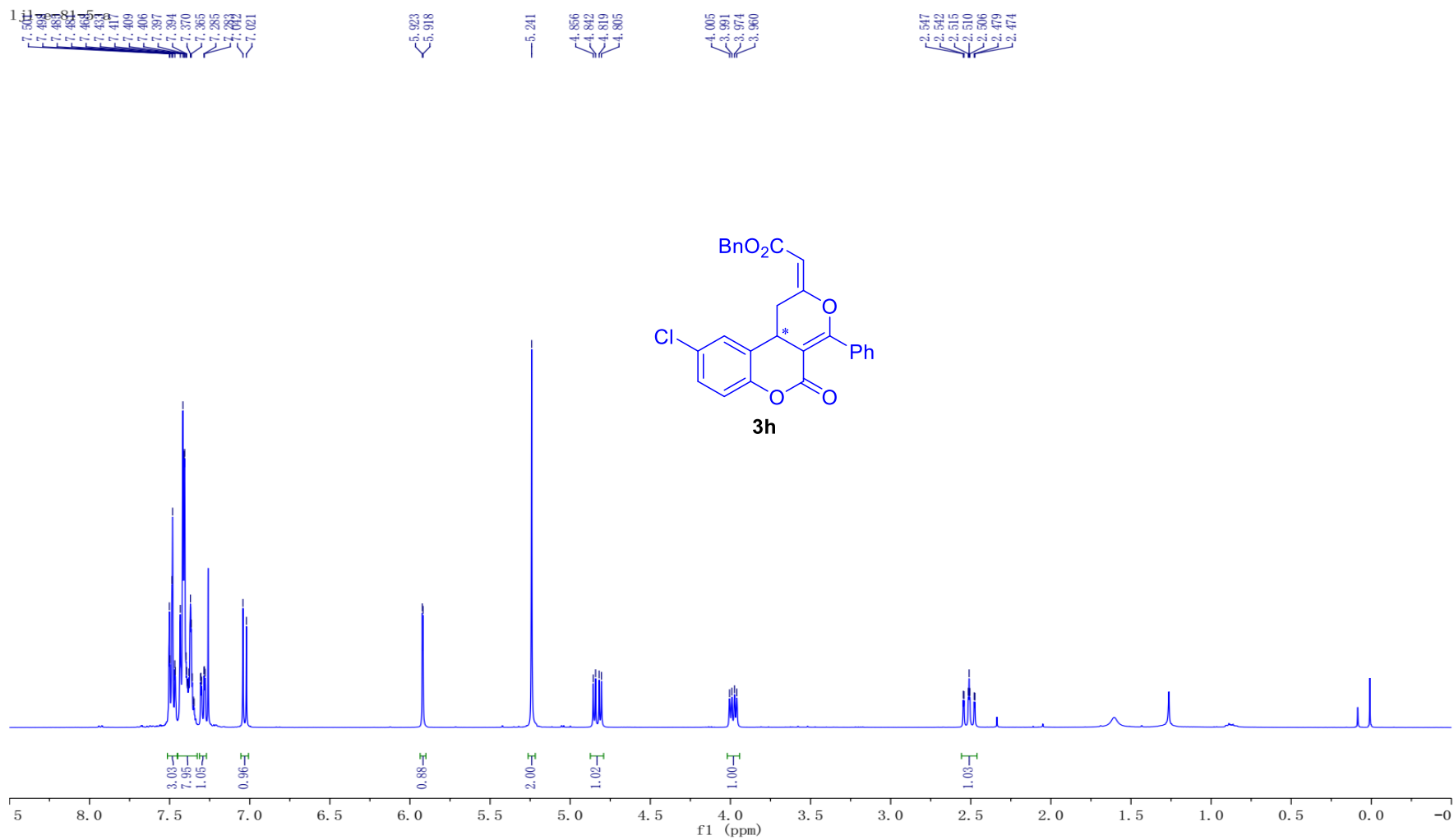
¹H NMR Spectrum (400 MHz, Chloroform-*d*) of **3g**



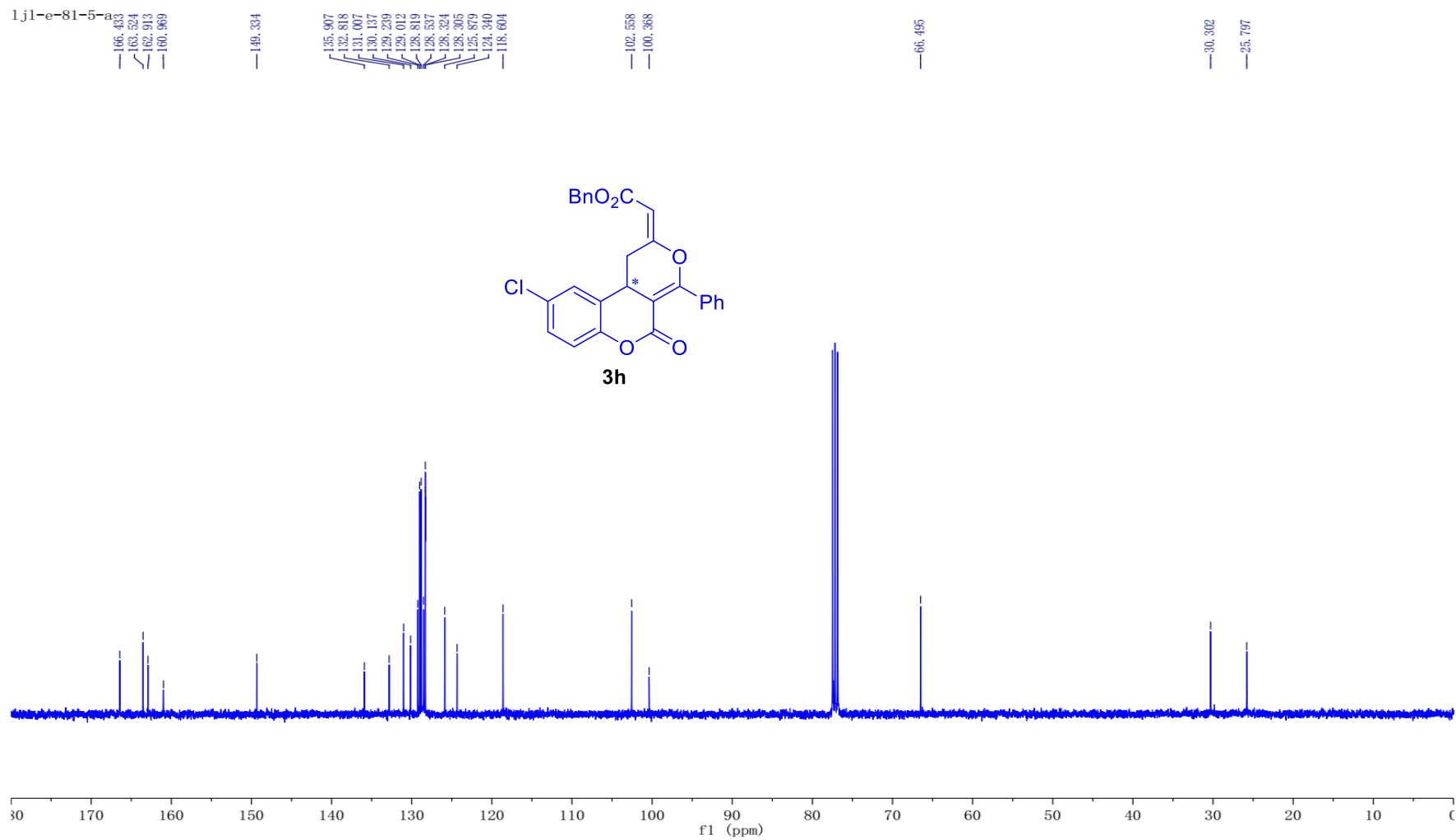
^{13}C { ^1H } NMR Spectrum (101 MHz, Chloroform-*d*) of **3g**



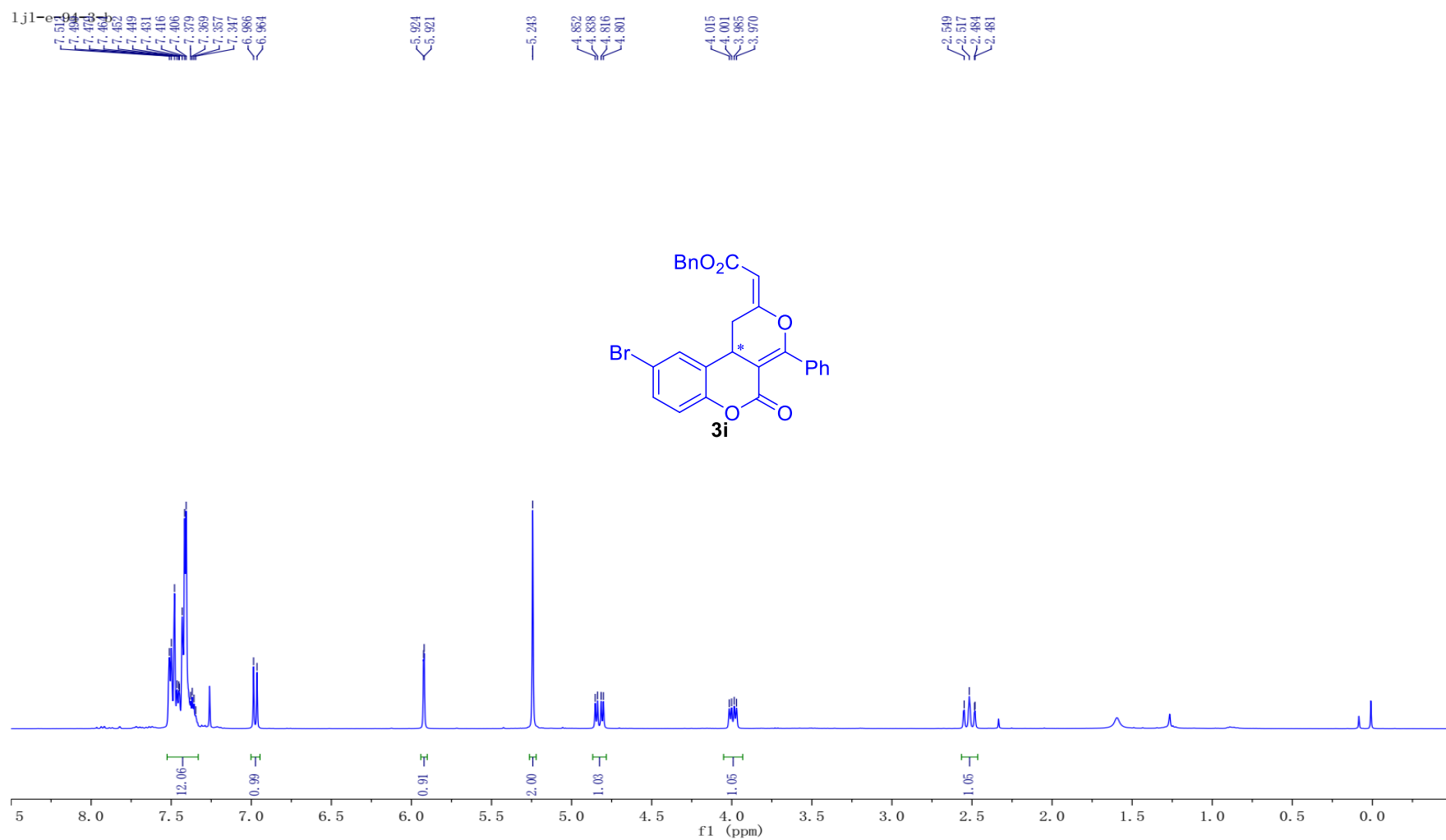
¹H NMR Spectrum (400 MHz, Chloroform-*d*) of **3h**



^{13}C { ^1H } NMR Spectrum (101 MHz, Chloroform-*d*) of **3h**



^1H NMR Spectrum (400 MHz, Chloroform-*d*) of **3i**



^{13}C $\{^1\text{H}\}$ NMR Spectrum (101 MHz, Chloroform-*d*) of **3i**

1j1-e-94-3-b

166.442
163.517
162.944
160.897

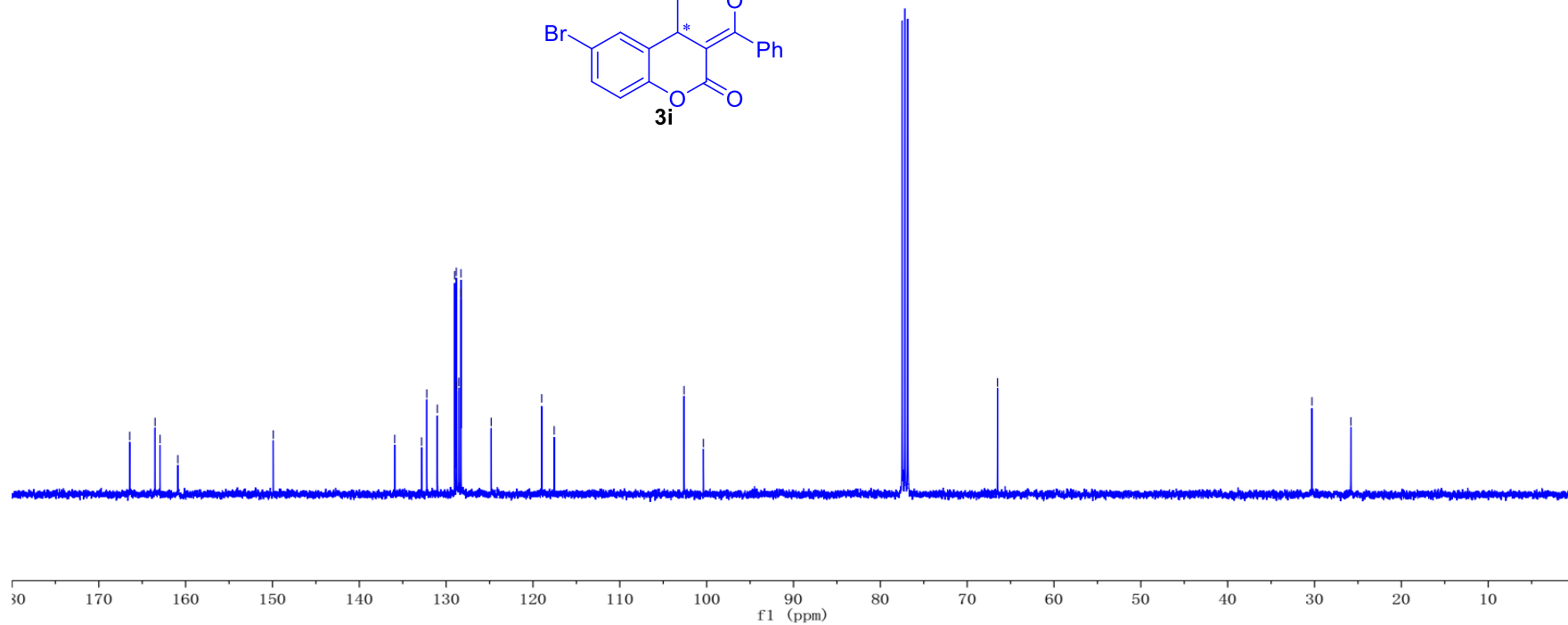
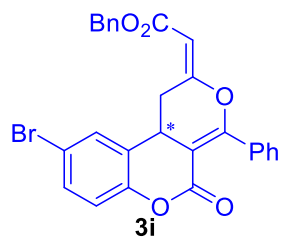
149.904

135.928
132.829
132.227
131.015
129.025
128.830
128.775
128.541
128.330
128.294
124.809
118.995
117.562

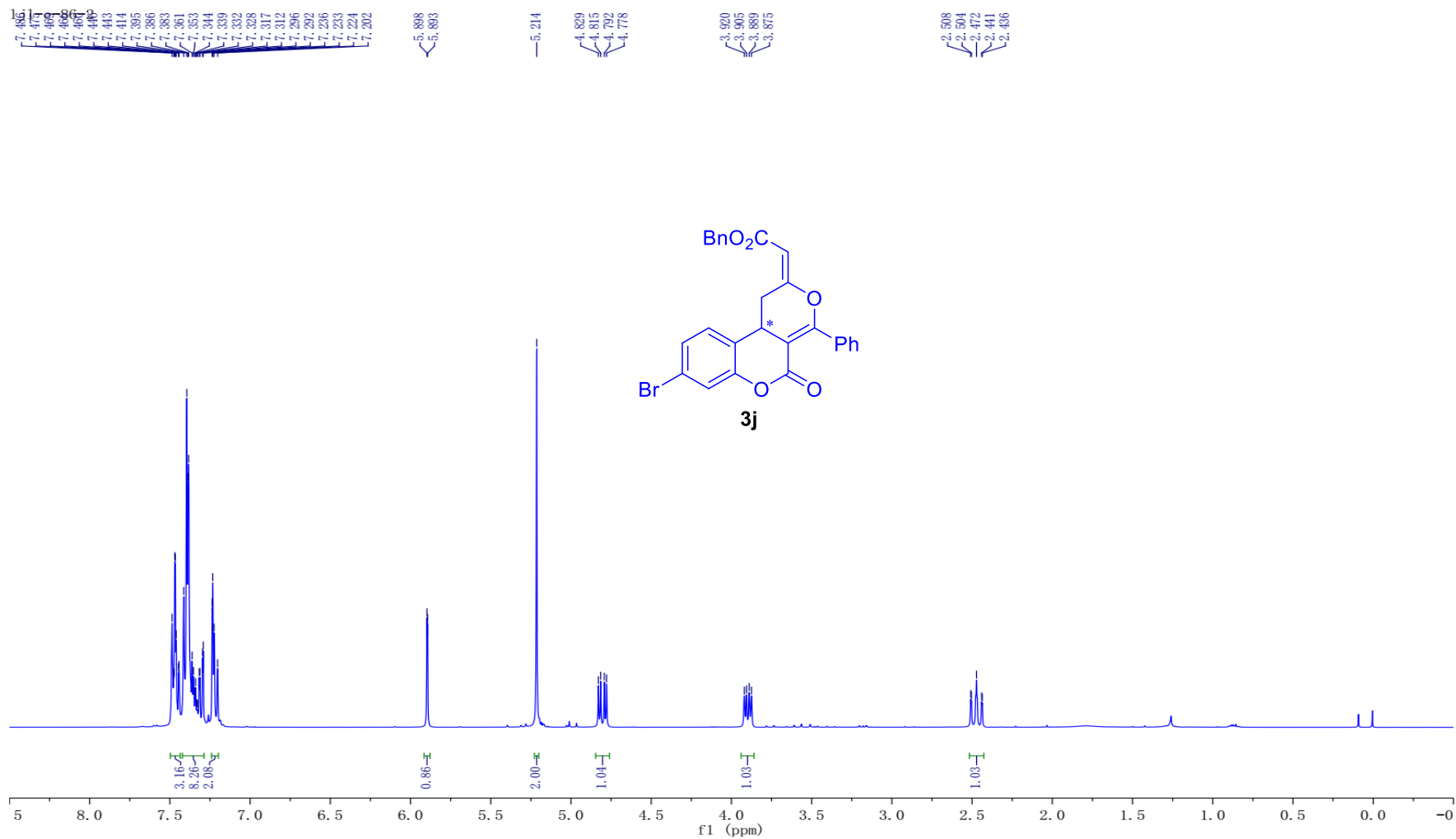
102.603
100.374

66.504

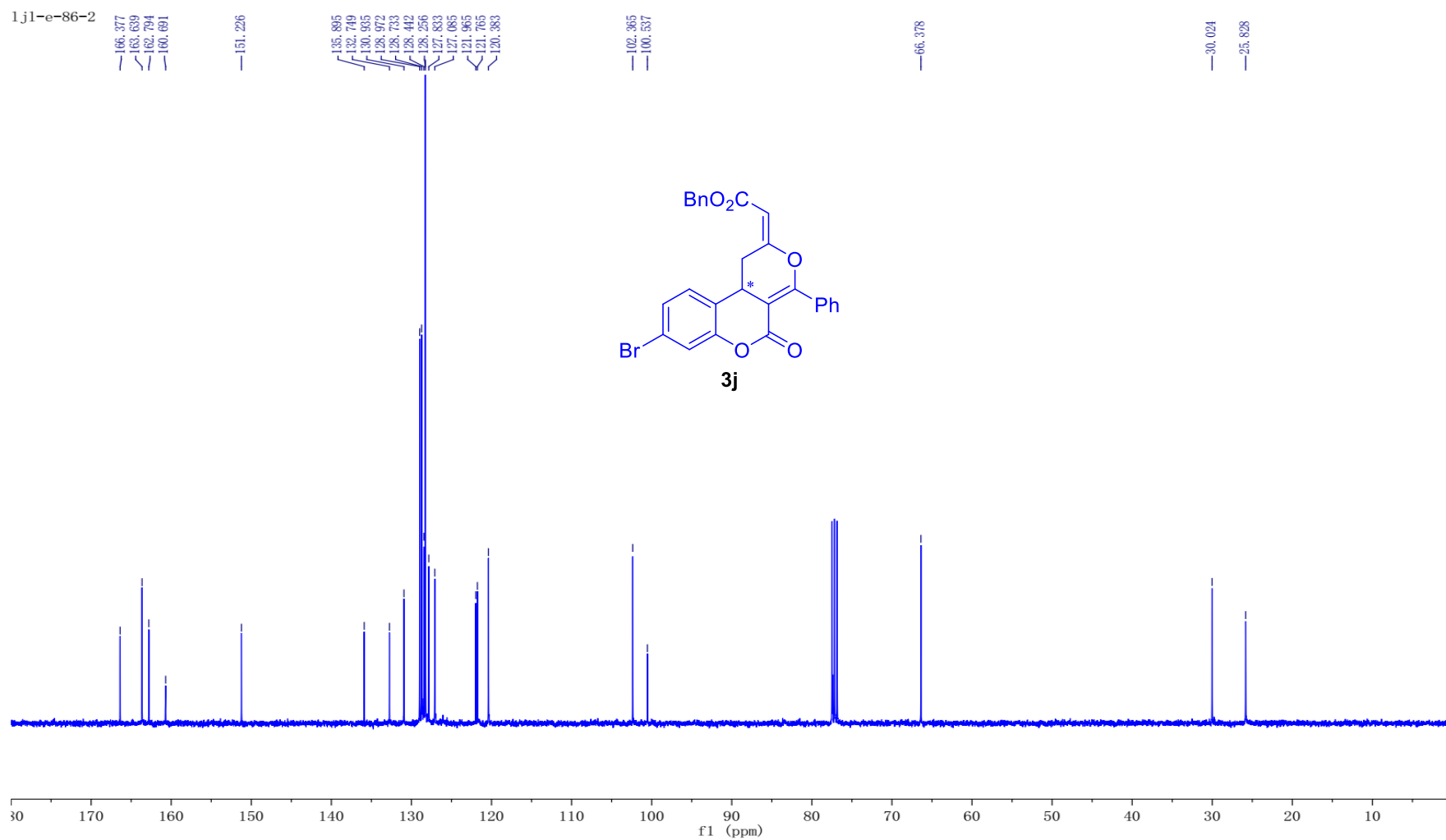
30.294
25.814



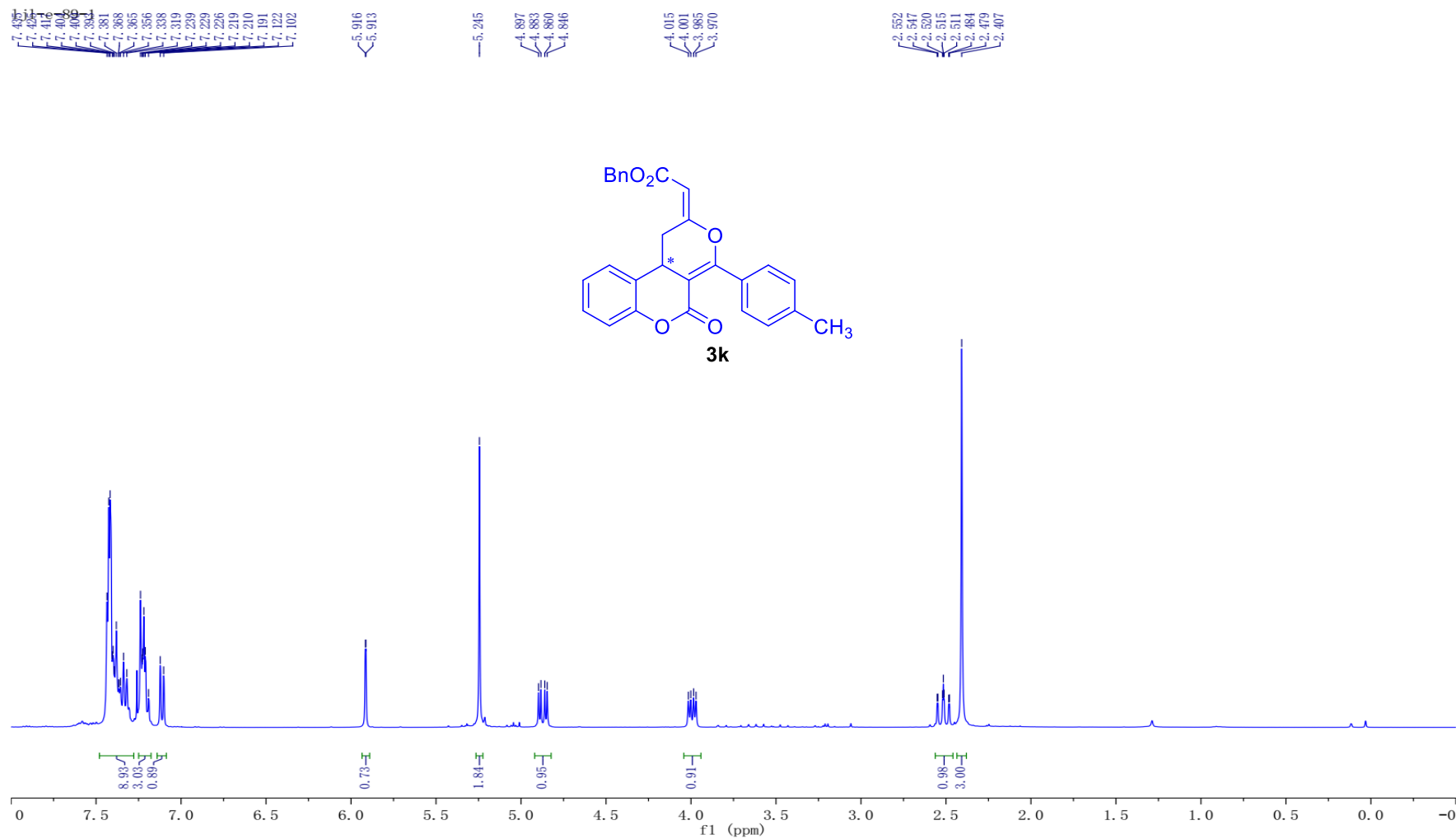
¹H NMR Spectrum (400 MHz, Chloroform-*d*) of **3j**



^{13}C $\{^1\text{H}\}$ NMR Spectrum (101 MHz, Chloroform-*d*) of **3j**

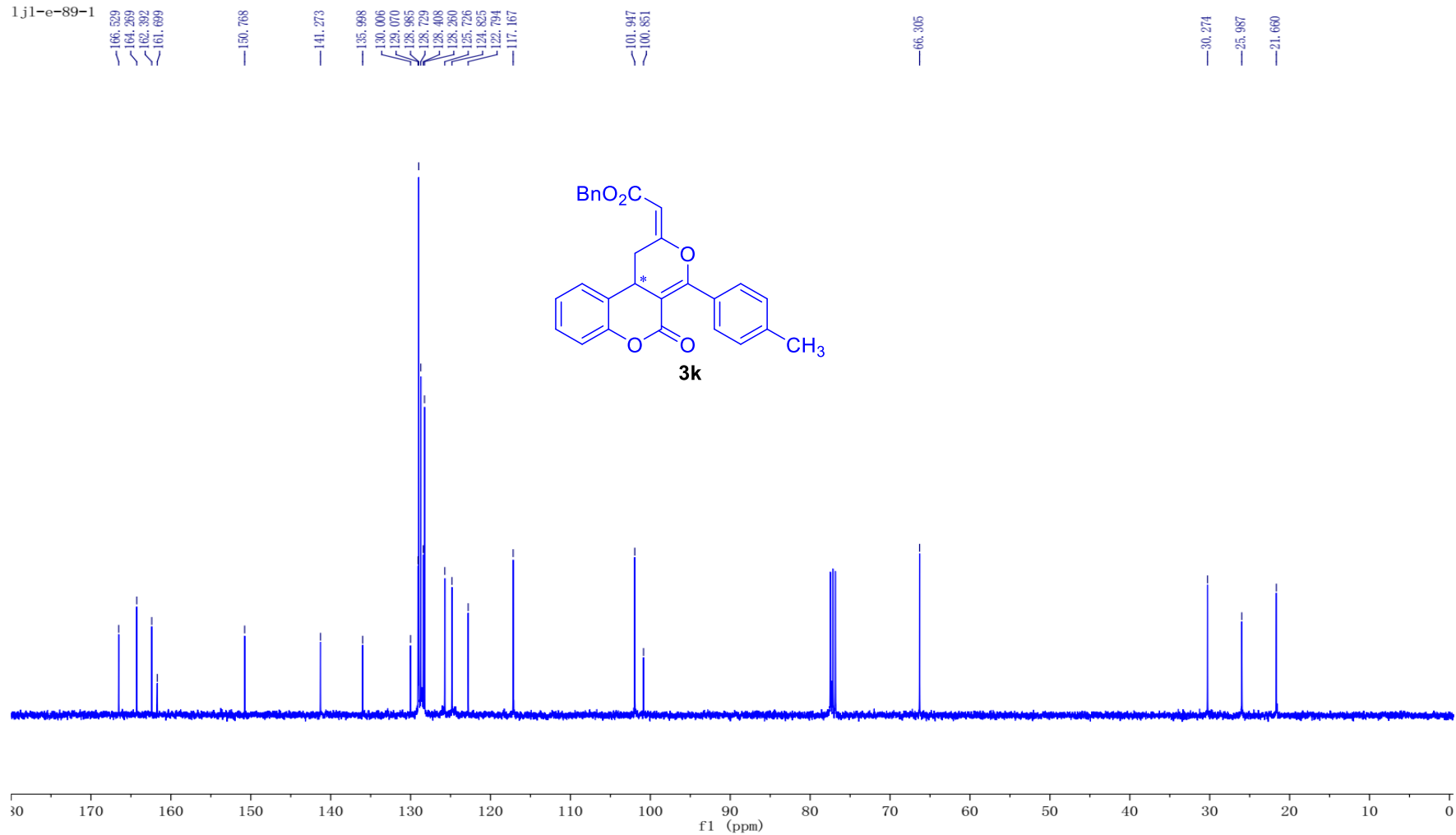


^1H NMR Spectrum (400 MHz, Chloroform-*d*) of **3k**

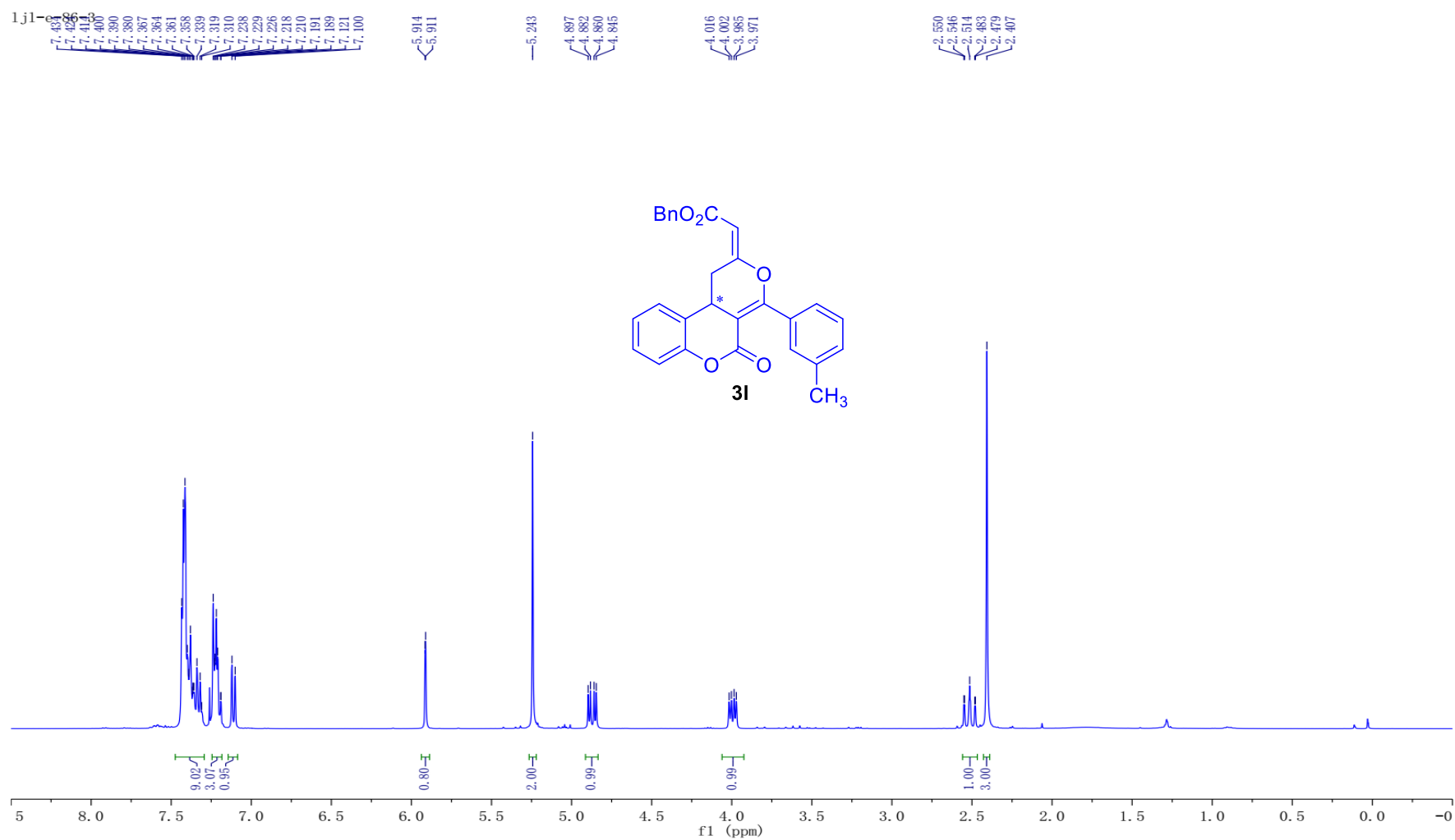


^{13}C { ^1H } NMR Spectrum (101 MHz, Chloroform-*d*) of **3k**

1j1-e-89-1

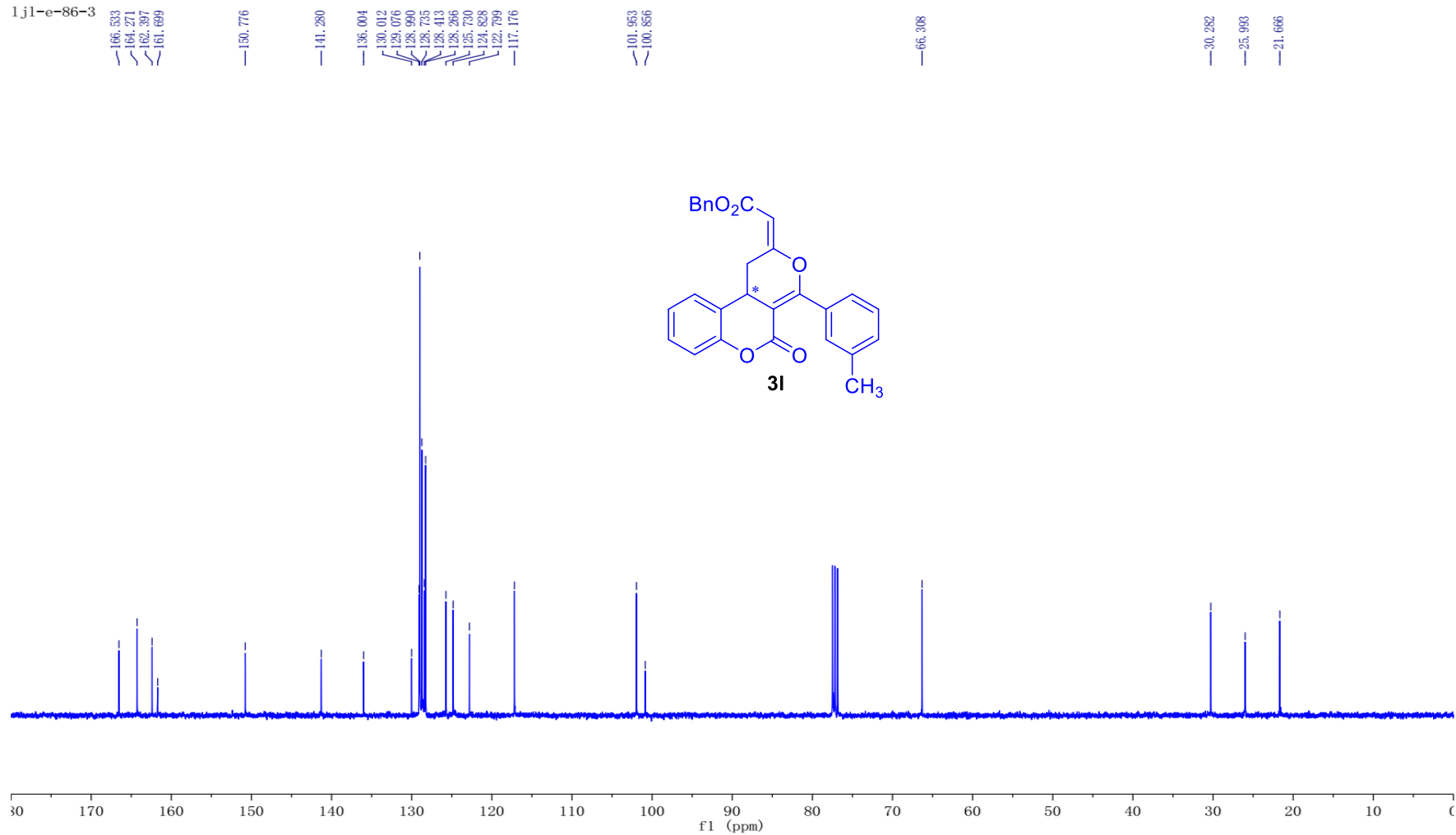


¹H NMR Spectrum (400 MHz, Chloroform-*d*) of **3i**

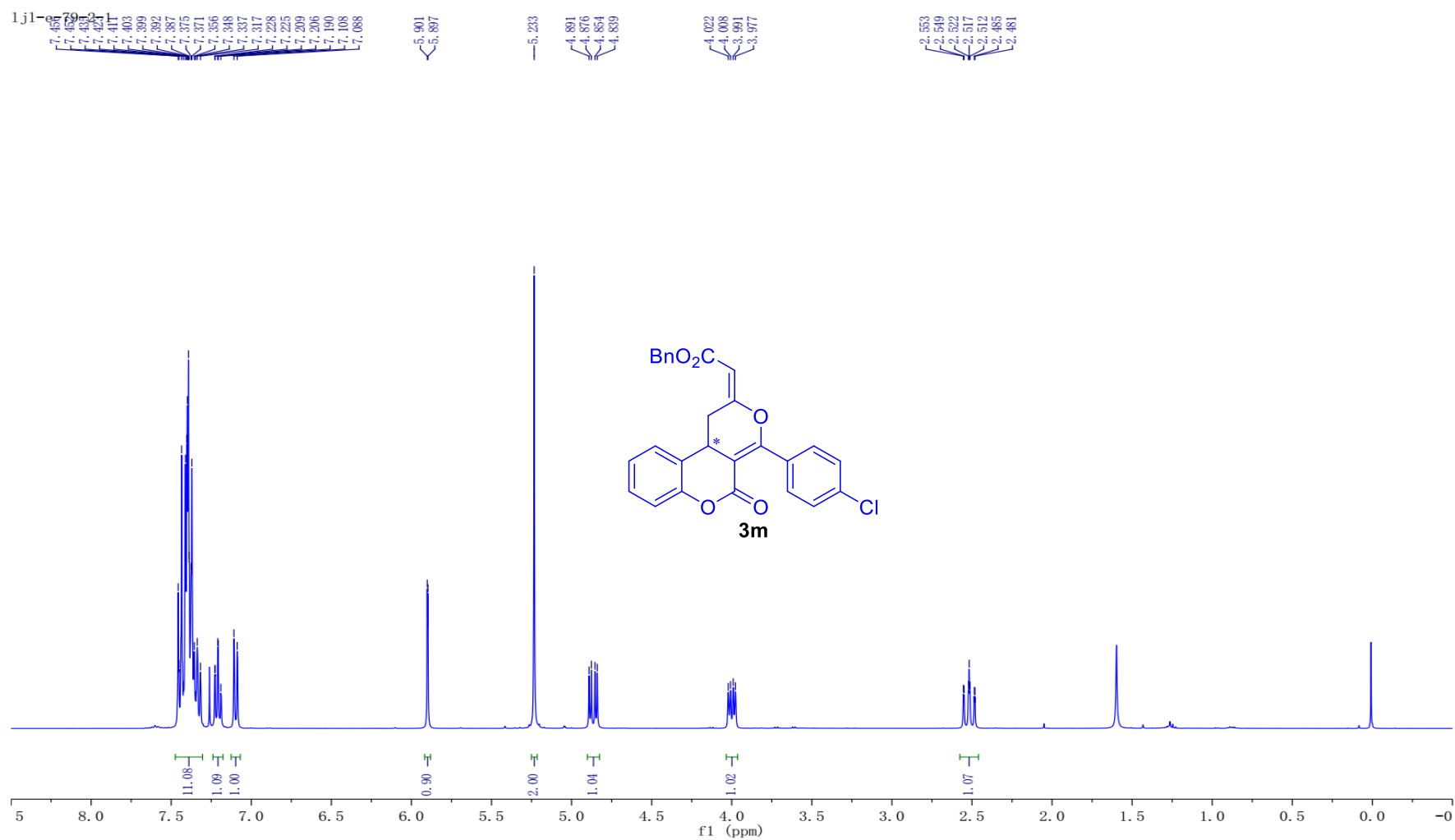


^{13}C $\{^1\text{H}\}$ NMR Spectrum (101 MHz, Chloroform-*d*) of **3i**

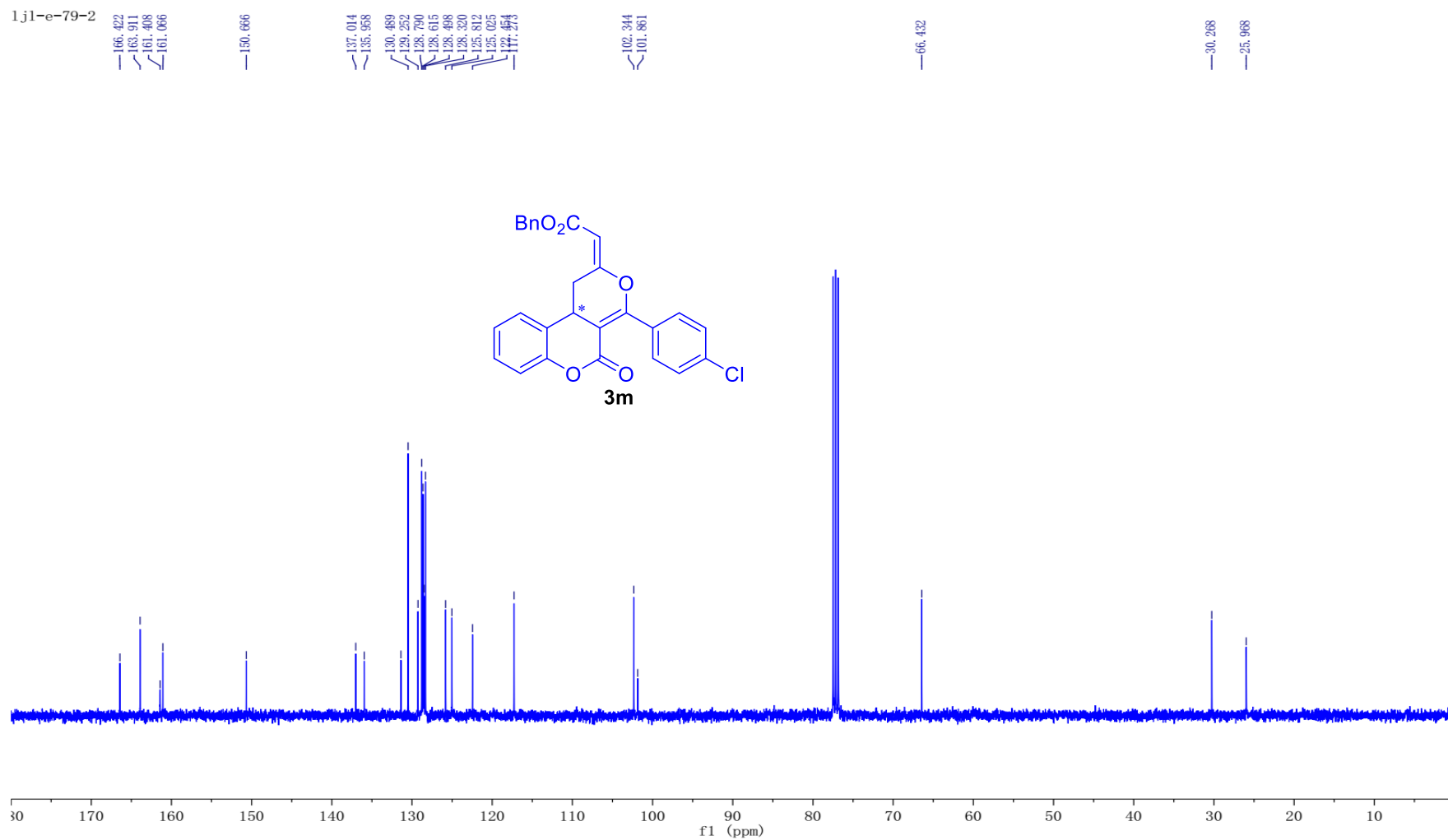
1j1-e-86-3



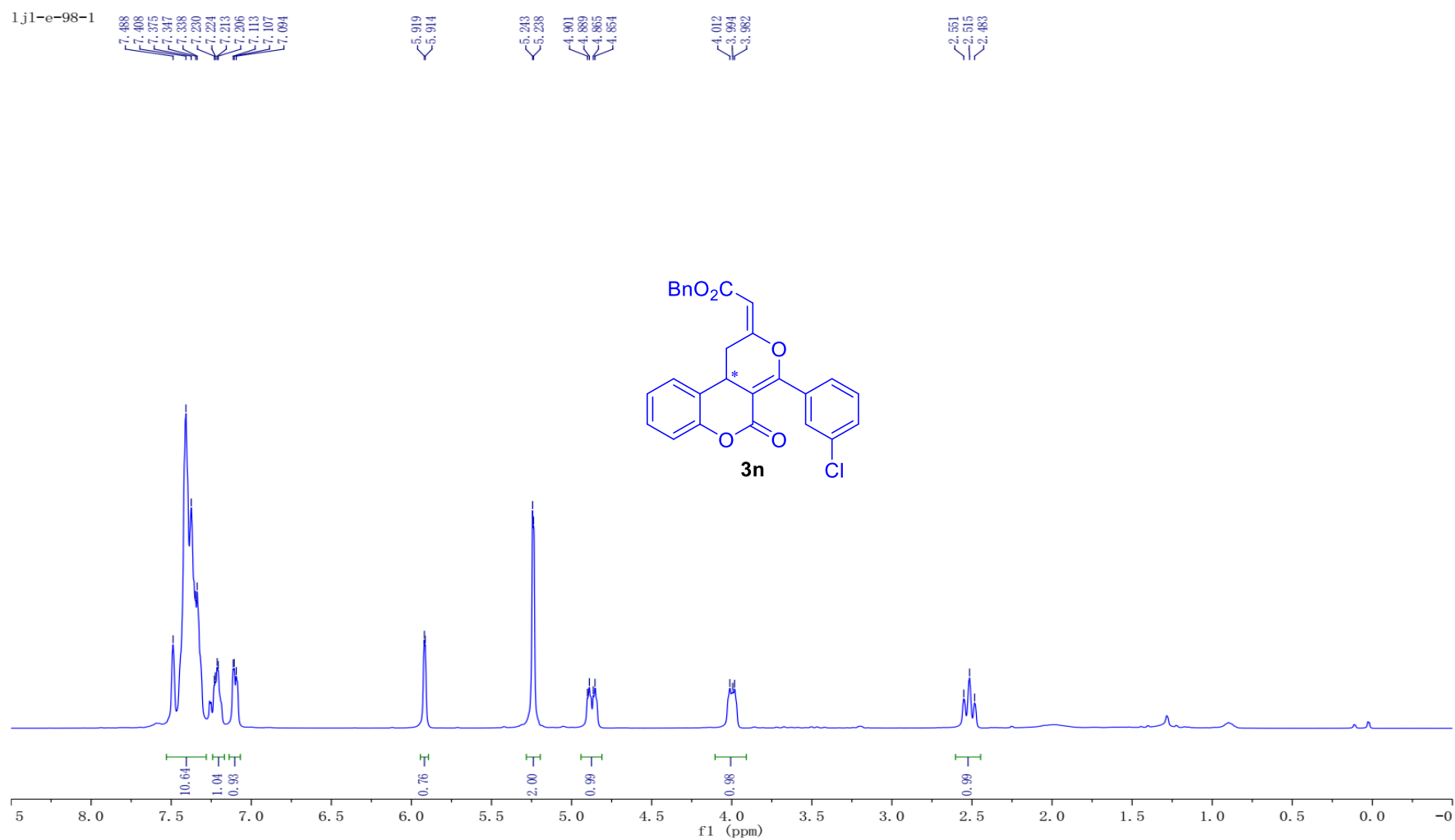
¹H NMR Spectrum (400 MHz, Chloroform-*d*) of **3m**



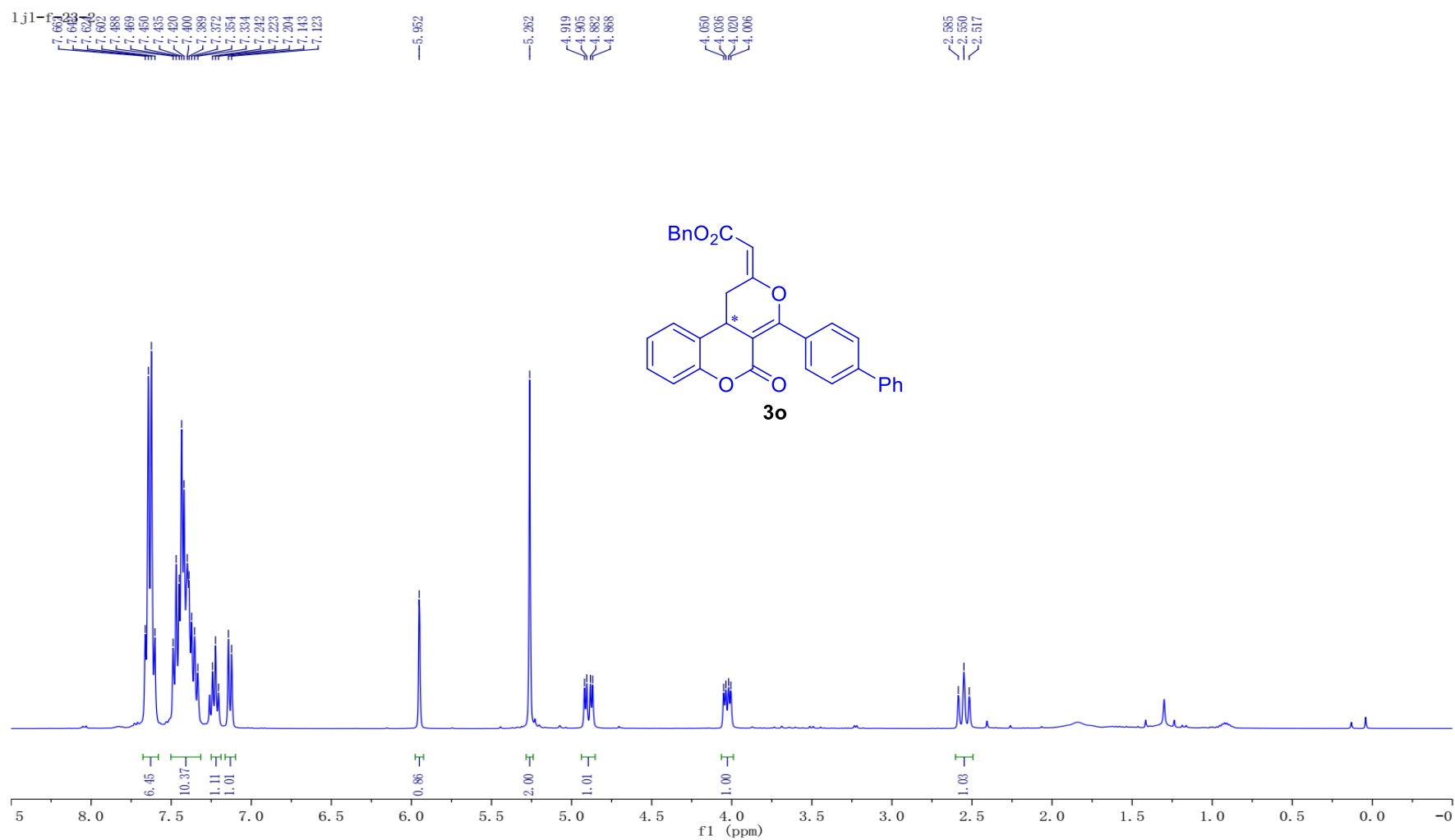
^{13}C $\{^1\text{H}\}$ NMR Spectrum (101 MHz, Chloroform-*d*) of **3m**



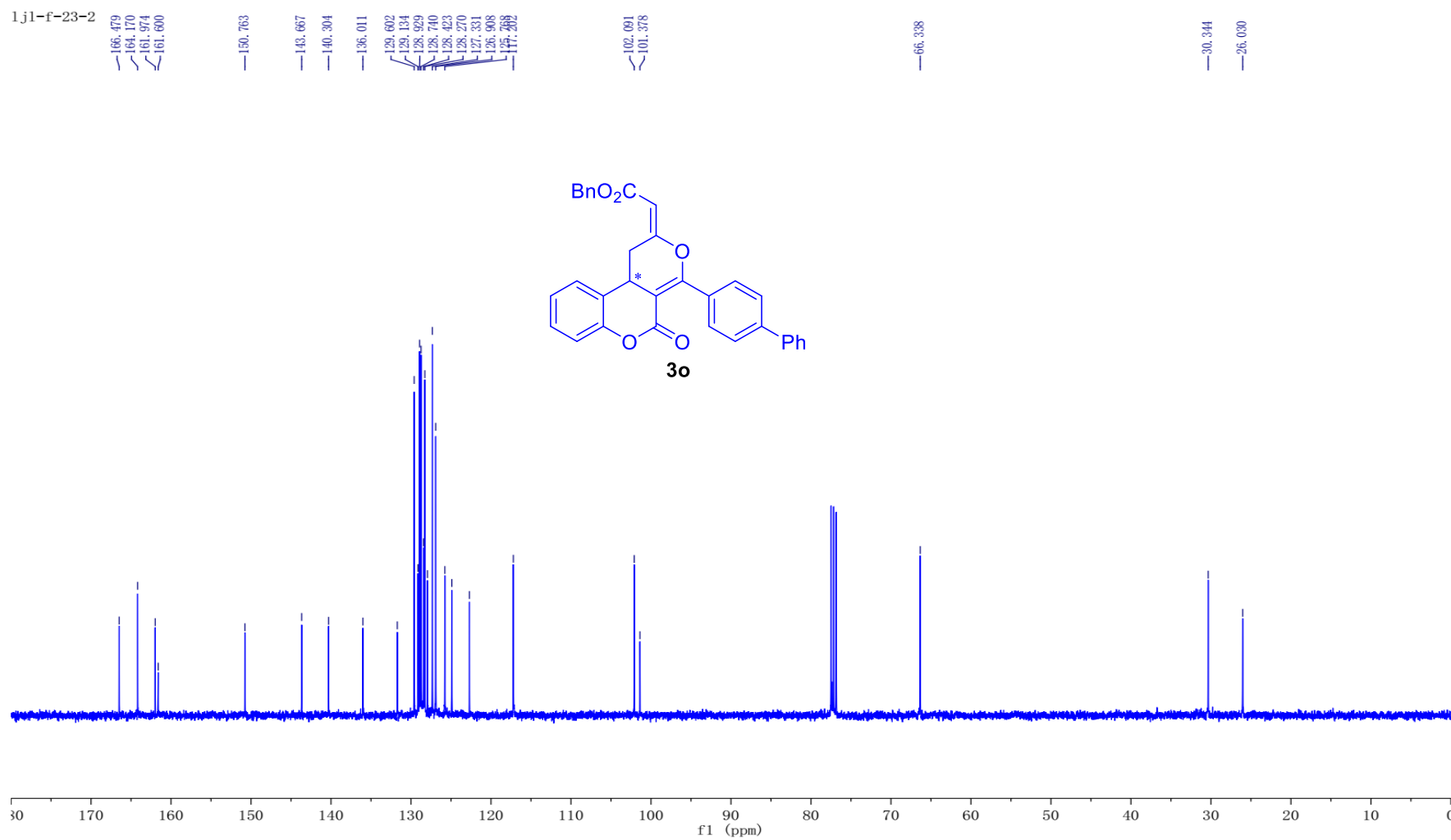
¹H NMR Spectrum (400 MHz, Chloroform-*d*) of **3n**



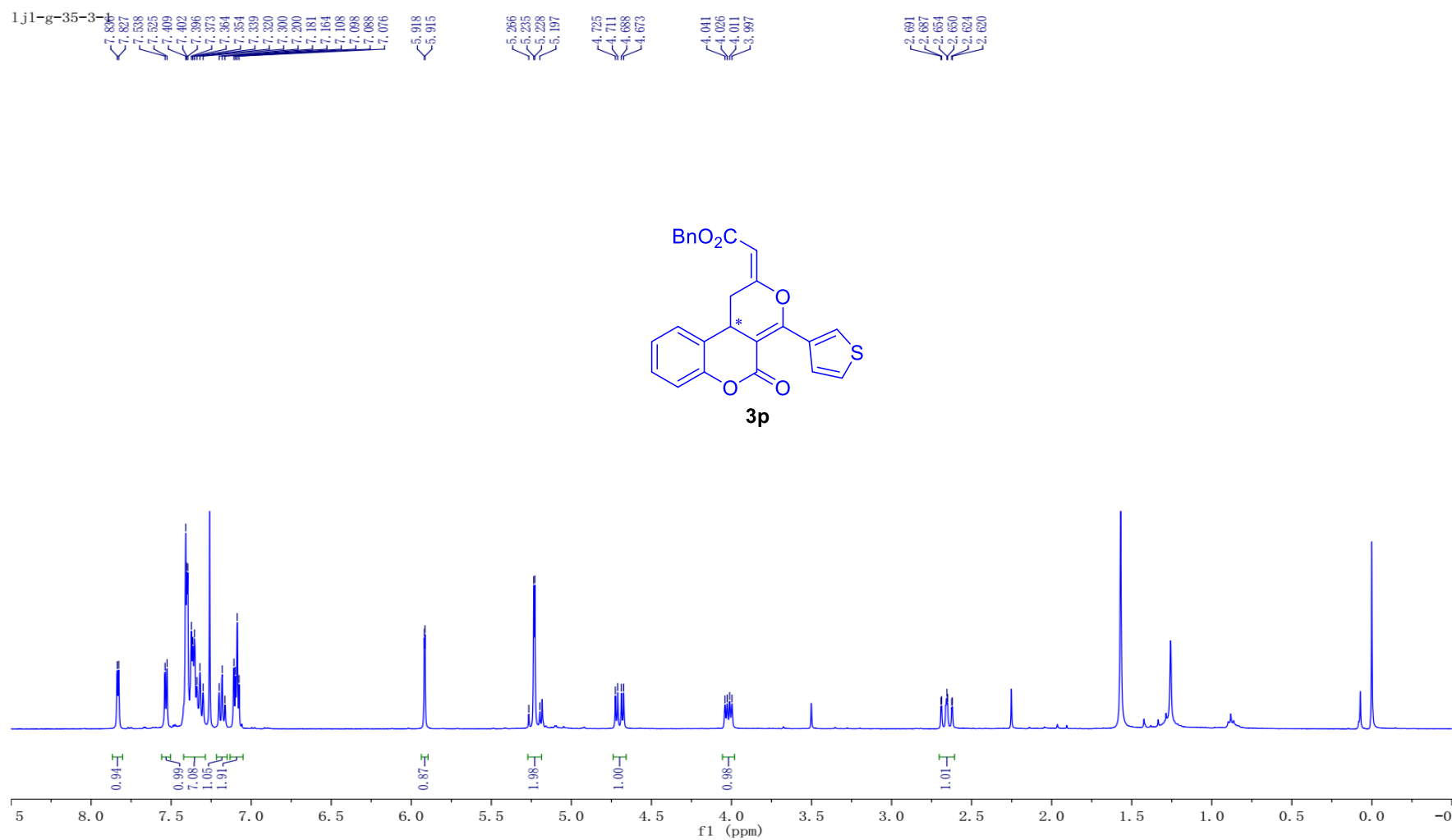
¹H NMR Spectrum (400 MHz, Chloroform-*d*) of **3o**



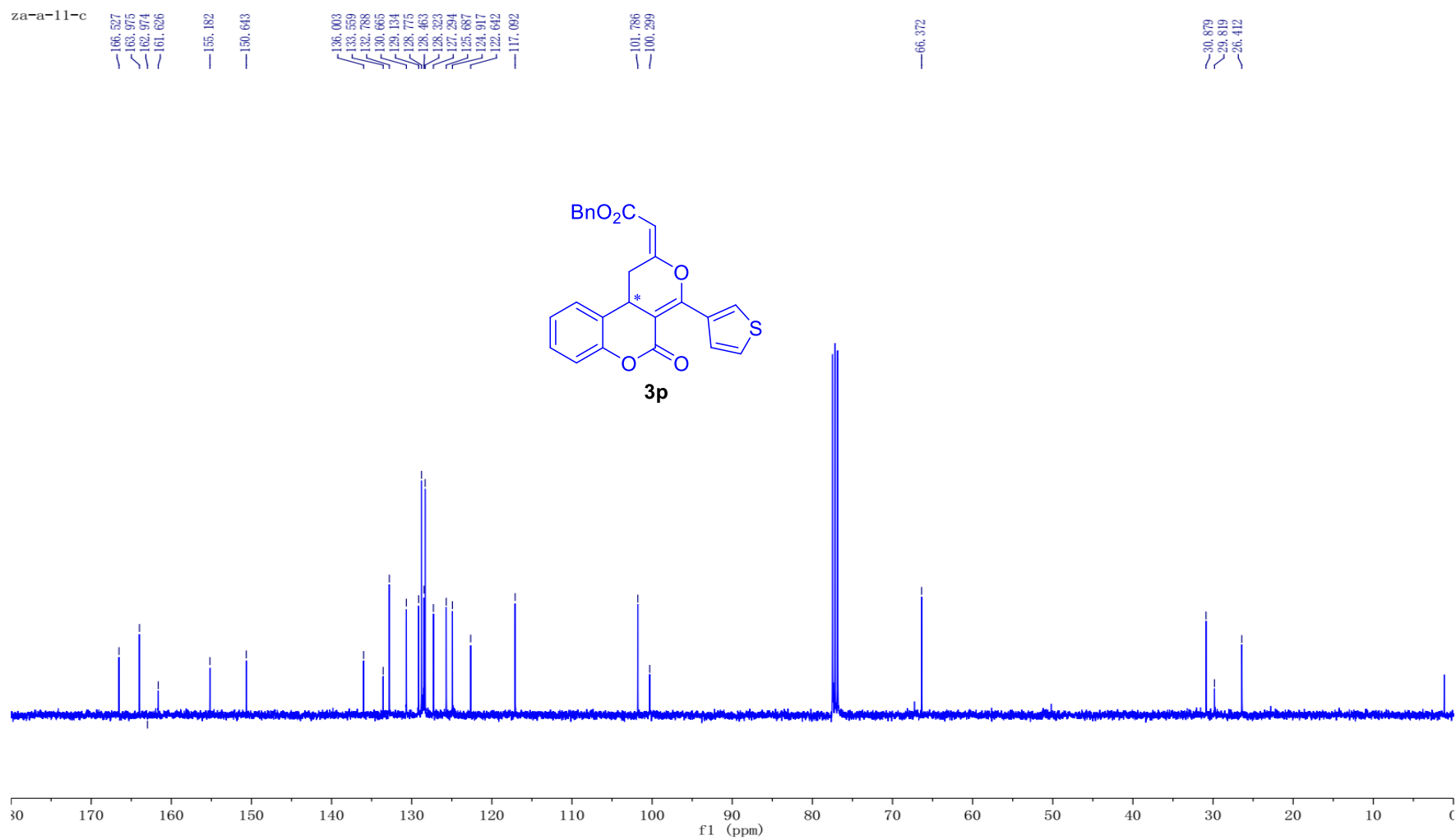
^{13}C $\{^1\text{H}\}$ NMR Spectrum (101 MHz, Chloroform-*d*) of **3o**



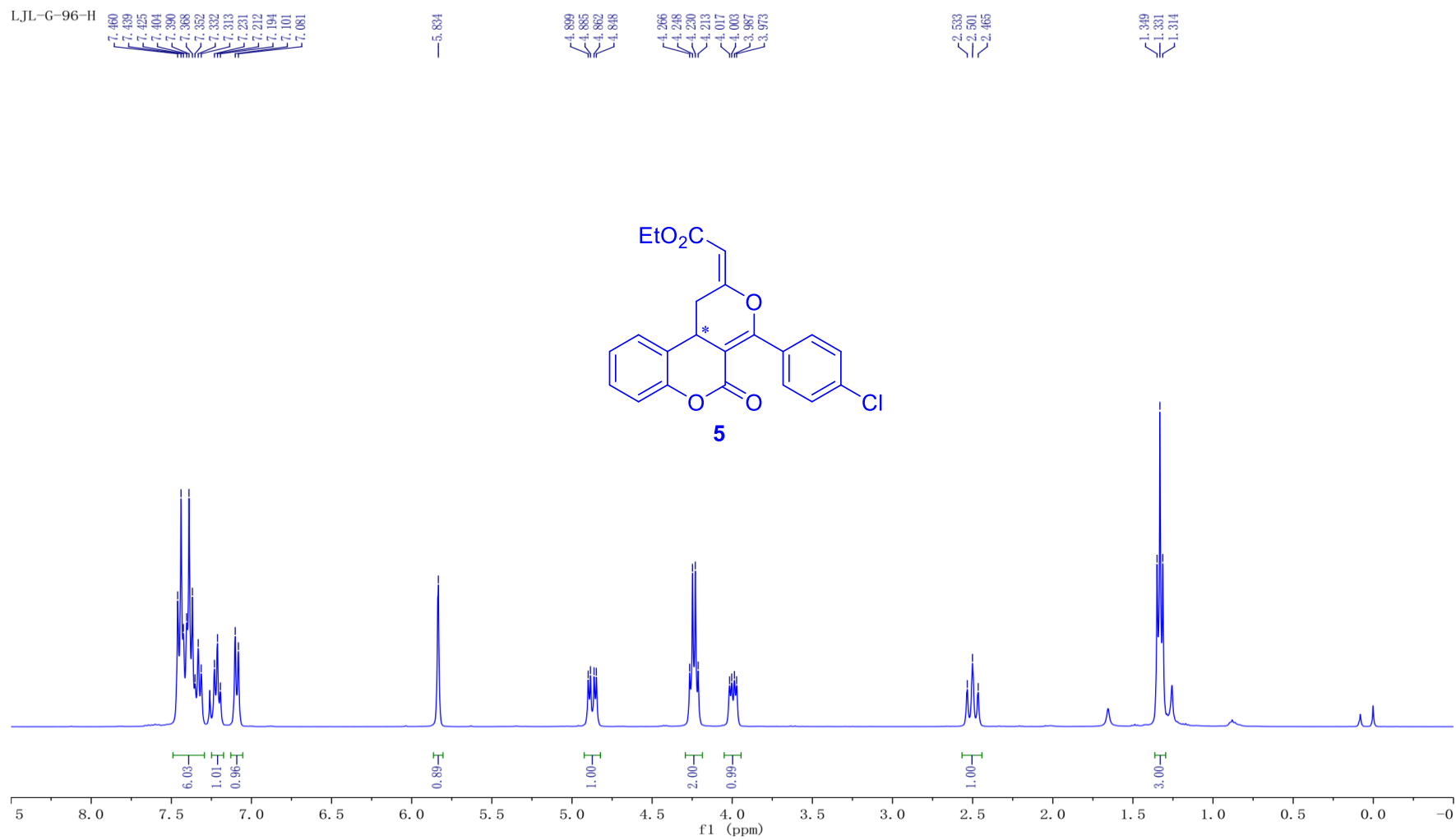
¹H NMR Spectrum (400 MHz, Chloroform-*d*) of **3p**



^{13}C $\{^1\text{H}\}$ NMR Spectrum (101 MHz, Chloroform-*d*) of **3p**



¹H NMR Spectrum (400 MHz, Chloroform-*d*) of **5**



^{13}C $\{^1\text{H}\}$ NMR Spectrum (101 MHz, Chloroform-*d*) of **5**

LJL-G-96-C

166.633
163.353
161.485
161.083

150.635

136.941

131.418

130.465

129.198

128.577

125.775

124.989

122.522

117.222

102.624

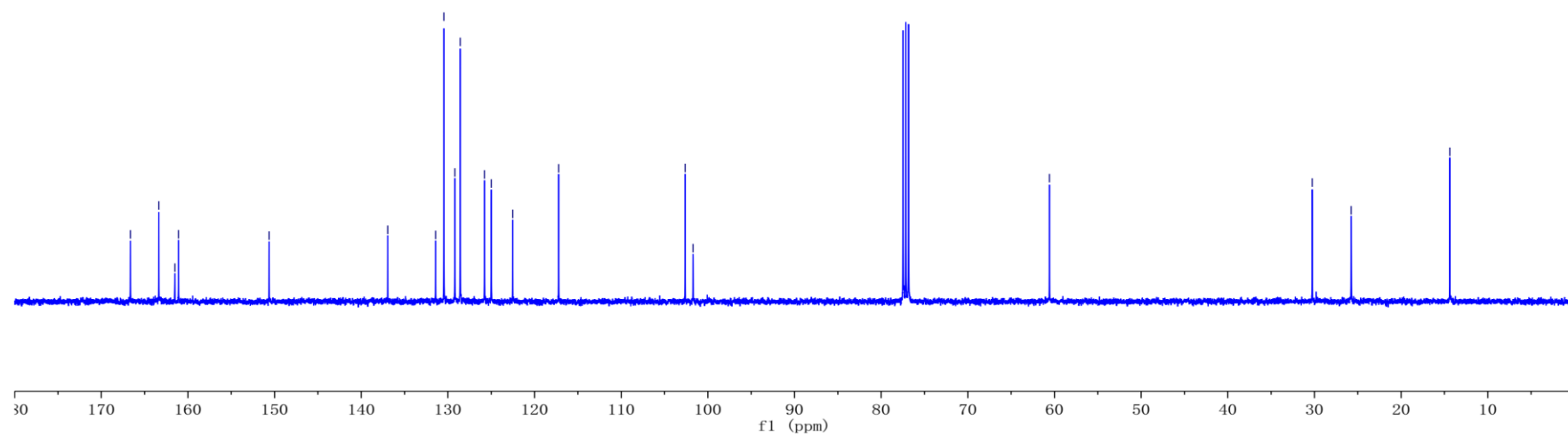
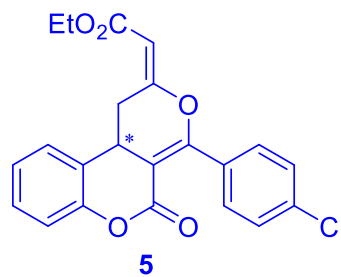
101.712

60.581

30.261

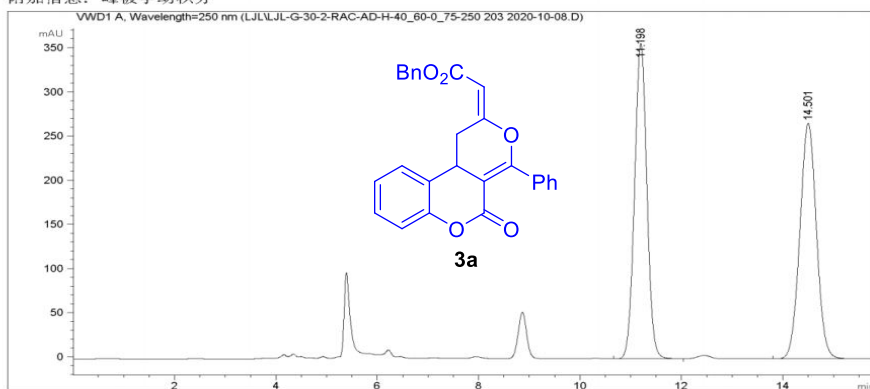
25.767

14.386



数据文件: C:\CHEM32\1\DATA\LJL\LJL-G-30-2-RAC-AD-H-40_60-0_75-250_203_2020-10-08.D
 样品名称: lj1-g-30-2-rac-ad-h-40/60-0.75-250

操作者 : 系统
 仪器 : 1260 位置: 样品瓶 1
 进样日期 : 2020-10-8 15:51:34
 进样量 : 没有进样
 采集方法 : C:\CHEM32\1\METHODS\DEF_LC.M
 最后修改 : 2020-10-8 15:04:41 : 系统
 (调用后修改)
 分析方法 : C:\CHEM32\1\METHODS\DEF_LC.M
 附加信息: 峰被手动积分



面积百分比报告

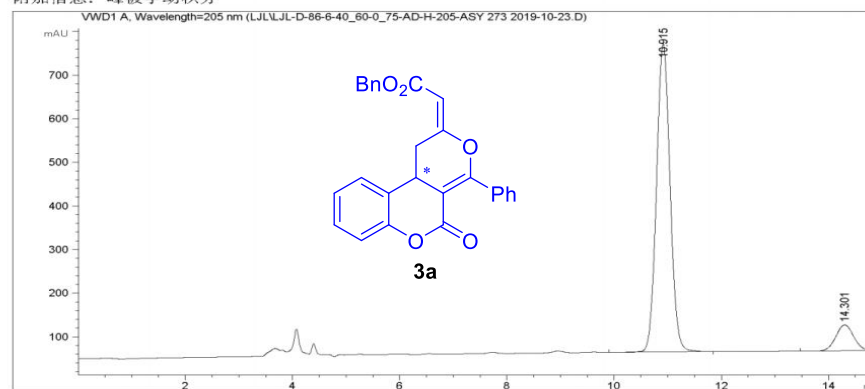
排序 : 信号
 乘积因子 : 1.0000
 稀释因子 : 1.0000
 内标使用乘积因子和稀释因子

信号 1: VWD1 A, Wavelength=250 nm

峰 #	保留时间 [min]	类型	峰宽 [min]	峰面积 [mAU*s]	峰高 [mAU]	峰面积 %
1	11.198	BB	0.2627	6044.30029	356.64221	49.9051
2	14.501	BBA	0.3536	6067.28369	266.55814	50.0949

数据文件: C:\CHEM32\1\DATA\LJL\LJL-D-86-6-40_60-0_75-AD-H-205-ASY_273_2019-10-23.D
 样品名称: LJL-D-86-6-40/60-0.75-AD-H-205-ASY

操作者 : 系统
 仪器 : 1260 位置: 样品瓶 1
 进样日期 : 2019-10-23 19:33:15
 进样量 : 没有进样
 采集方法 : C:\CHEM32\1\METHODS\DEF_LC.M
 最后修改 : 2019-10-23 19:03:15 : 系统
 (调用后修改)
 分析方法 : C:\CHEM32\1\METHODS\DEF_LC.M
 附加信息: 峰被手动积分



面积百分比报告

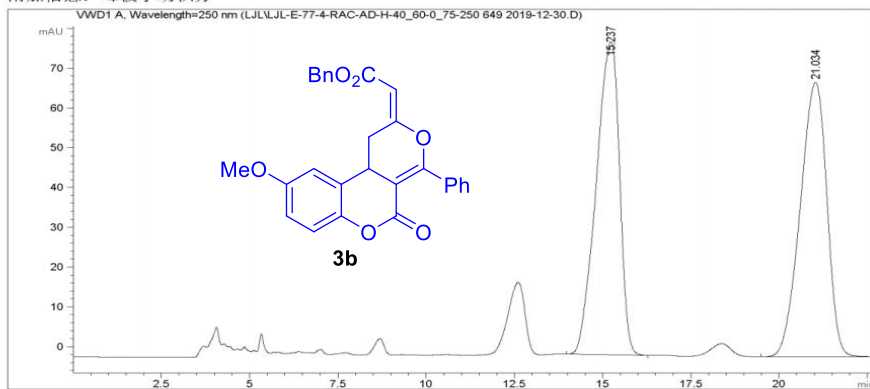
排序 : 信号
 乘积因子 : 1.0000
 稀释因子 : 1.0000
 内标使用乘积因子和稀释因子

信号 1: VWD1 A, Wavelength=205 nm

峰 #	保留时间 [min]	类型	峰宽 [min]	峰面积 [mAU*s]	峰高 [mAU]	峰面积 %
1	10.915	BB	0.2735	1.24523e4	706.98340	90.0201
2	14.301	BBA	0.3602	1380.50476	59.60043	9.9799

数据文件: C:\CHEM32\1\DATA\LJL\LJL-E-77-4-RAC-AD-H-40_60-0_75-250_649_2019-12-30.D
 样品名称: 1j1-e-77-4-RAC-AD-H-40/60-0.75-250

操作者 : 系统
 仪器 : 1260
 进样日期 : 2019-12-30 10:21:57
 位置 : 样品瓶 1
 进样量 : 没有进样
 采集方法 : C:\CHEM32\1\METHODS\TEST.M
 最后修改 : 2019-12-30 9:27:51 : 系统
 (调用后修改)
 分析方法 : C:\CHEM32\1\METHODS\TEST.M
 最后修改 : 2019-12-27 10:44:45 : 系统
 附加信息: 峰被手动积分



面积百分比报告

排序 : 信号
 乘积因子 : 1.0000
 稀释因子 : 1.0000
 内标使用乘积因子和稀释因子

信号 1: VWD1 A, Wavelength=250 nm

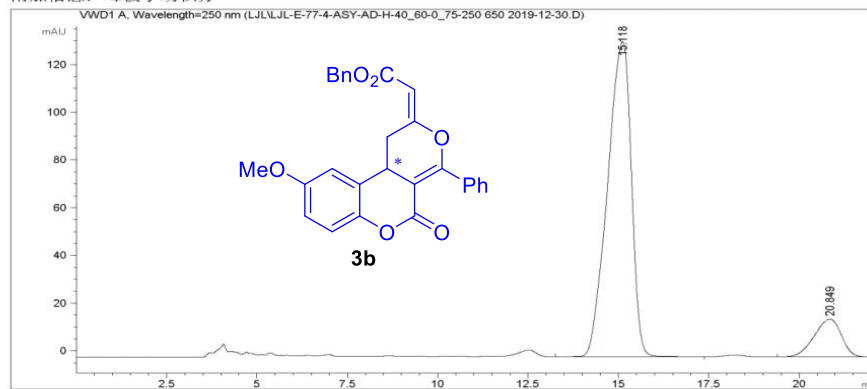
峰 #	保留时间 [min]	类型	峰宽 [min]	峰面积 [mAU*s]	峰高 [mAU]	峰面积 %
1	15.237	BB	0.7171	3601.18848	78.66349	49.8515
2	21.034	BBA	0.8191	3622.63770	68.93123	50.1485

1260 2019-12-30 11:38:28 系统

页 1/2

数据文件: C:\CHEM32\1\DATA\LJL\LJL-E-77-4-ASY-AD-H-40_60-0_75-250_650_2019-12-30.D
 样品名称: 1j1-e-77-4-ASY-AD-H-40/60-0.75-250

操作者 : 系统
 仪器 : 1260
 进样日期 : 2019-12-30 10:45:22
 位置 : 样品瓶 1
 进样量 : 没有进样
 采集方法 : C:\CHEM32\1\METHODS\TEST.M
 最后修改 : 2019-12-30 9:27:51 : 系统
 (调用后修改)
 分析方法 : C:\CHEM32\1\METHODS\TEST.M
 最后修改 : 2019-12-27 10:44:45 : 系统
 附加信息: 峰被手动积分



面积百分比报告

排序 : 信号
 乘积因子 : 1.0000
 稀释因子 : 1.0000
 内标使用乘积因子和稀释因子

信号 1: VWD1 A, Wavelength=250 nm

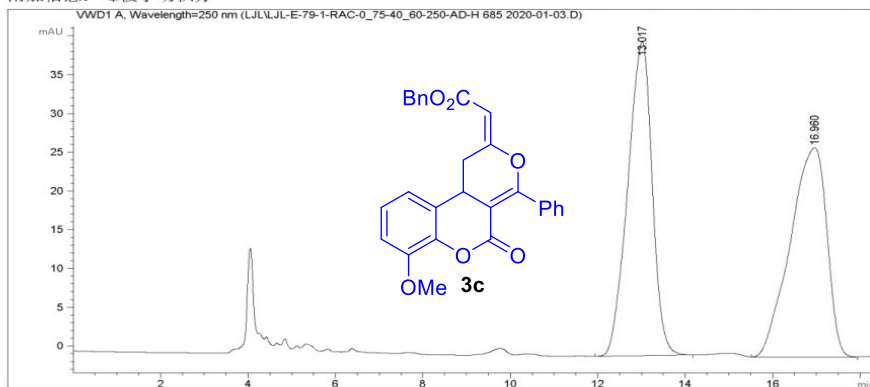
峰 #	保留时间 [min]	类型	峰宽 [min]	峰面积 [mAU*s]	峰高 [mAU]	峰面积 %
1	15.118	BB	0.7164	6022.98975	131.98674	88.0203
2	20.849	BBA	0.8122	819.73871	15.74980	11.9797

1260 2019-12-30 11:38:41 系统

页 1/2

数据文件: C:\CHEM32\1\DATA\LJL\LJL-E-79-1-RAC-0_75-40_60-250-AD-H 685 2020-01-03.D
 样品名称: ljl-e-79-1-rac-0.75-40/60-250-ad-h

操作者 : 系统
 仪器 : 1260 位置 : 样品瓶 1
 进样日期 : 2020-1-3 16:17:17
 进样量 : 没有进样
 采集方法 : C:\CHEM32\1\METHODS\DEF_LC.M
 最后修改 : 2020-1-3 15:58:14 : 系统
 (调用后修改)
 分析方法 : C:\CHEM32\1\METHODS\DEF_LC.M
 附加信息: 峰被手动积分



面积百分比报告

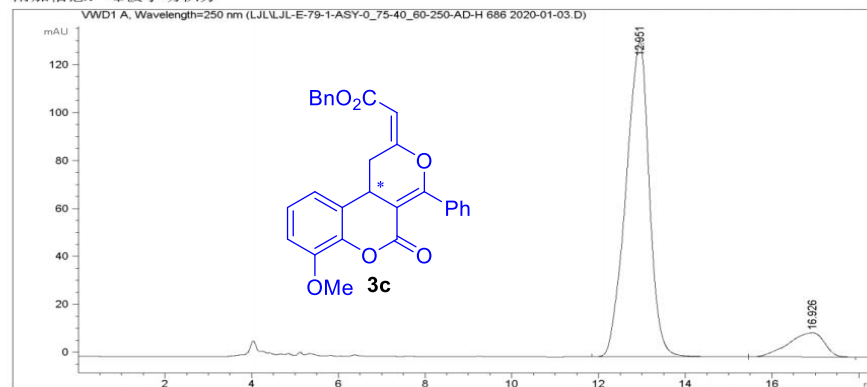
排序 : 信号
 乘积因子 : 1.0000
 稀释因子 : 1.0000
 内标使用乘积因子和稀释因子

信号 1: VWD1 A, Wavelength=250 nm

峰 #	保留时间 [min]	类型	峰宽 [min]	峰面积 [mAU*s]	峰高 [mAU]	峰面积 %
1	13.017	BB	0.6029	1571.54138	40.48283	50.0278
2	16.960	BB	0.9128	1569.79358	26.98207	49.9722

数据文件: C:\CHEM32\1\DATA\LJL\LJL-E-79-1-ASY-0_75-40_60-250-AD-H 686 2020-01-03.D
 样品名称: ljl-e-79-1-asy-0.75-40/60-250-ad-h

操作者 : 系统
 仪器 : 1260 位置 : 样品瓶 1
 进样日期 : 2020-1-3 16:37:33
 进样量 : 没有进样
 采集方法 : C:\CHEM32\1\METHODS\DEF_LC.M
 最后修改 : 2020-1-3 15:58:14 : 系统
 (调用后修改)
 分析方法 : C:\CHEM32\1\METHODS\DEF_LC.M
 附加信息: 峰被手动积分



面积百分比报告

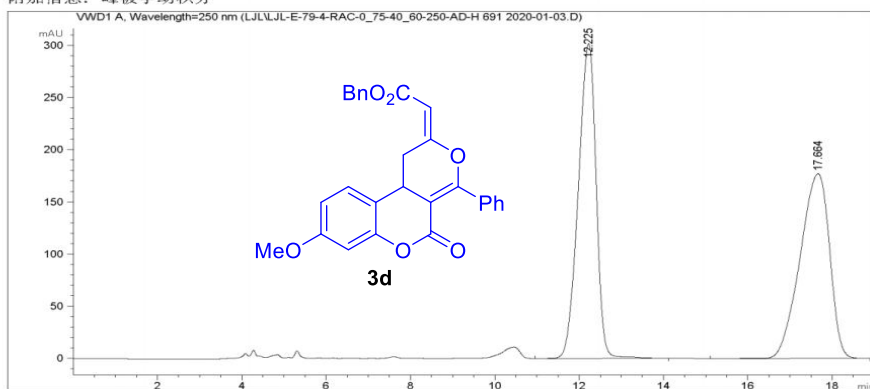
排序 : 信号
 乘积因子 : 1.0000
 稀释因子 : 1.0000
 内标使用乘积因子和稀释因子

信号 1: VWD1 A, Wavelength=250 nm

峰 #	保留时间 [min]	类型	峰宽 [min]	峰面积 [mAU*s]	峰高 [mAU]	峰面积 %
1	12.951	BB	0.5774	4887.79150	131.28285	89.4149
2	16.926	BB	0.8951	578.62482	10.05914	10.5851

数据文件: C:\CHEM32\1\DATA\LJL\LJL-E-79-4-RAC-0_75-40_60-250-AD-H 691 2020-01-03.D
 样品名称: lj1-e-79-4-rac-0.75-40/60-250-ad-h

操作者 : 系统
 仪器 : 1260 位置 : 样品瓶 1
 进样日期 : 2020-1-3 19:55:39 进样量 : 没有进样
 采集方法 : C:\CHEM32\1\METHODS\DEF_LC.M
 最后修改 : 2020-1-3 19:14:27 : 系统
 (调用后修改)
 分析方法 : C:\CHEM32\1\METHODS\DEF_LC.M
 附加信息: 峰被手动积分



面积百分比报告

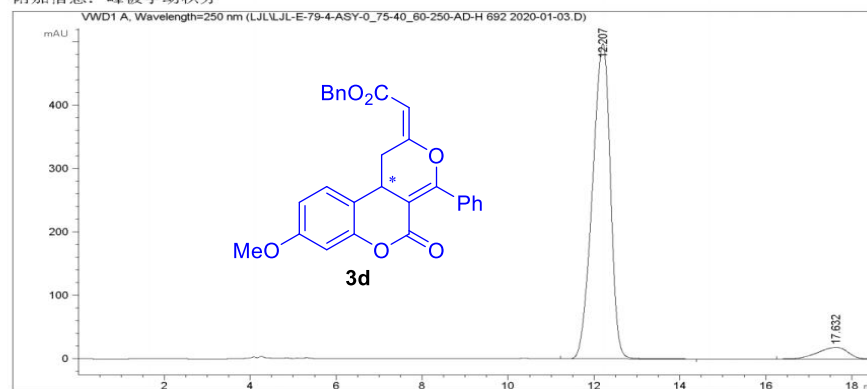
排序 : 信号
 乘积因子 : 1.0000
 稀释因子 : 1.0000
 内标使用乘积因子和稀释因子

信号 1: VWD1 A, Wavelength=250 nm

峰 #	保留时间 [min]	类型	峰宽 [min]	峰面积 [mAU*s]	峰高 [mAU]	峰面积 %
1	12.225	BB	0.4573	8854.05859	301.75830	50.6439
2	17.664	BB	0.7612	8628.91406	177.17479	49.3561

数据文件: C:\CHEM32\1\DATA\LJL\LJL-E-79-4-ASY-0_75-40_60-250-AD-H 692 2020-01-03.D
 样品名称: lj1-e-79-4-asy-0.75-40/60-250-ad-h

操作者 : 系统
 仪器 : 1260 位置 : 样品瓶 1
 进样日期 : 2020-1-3 20:16:02 进样量 : 没有进样
 采集方法 : C:\CHEM32\1\METHODS\DEF_LC.M
 最后修改 : 2020-1-3 19:14:27 : 系统
 (调用后修改)
 分析方法 : C:\CHEM32\1\METHODS\DEF_LC.M
 附加信息: 峰被手动积分



面积百分比报告

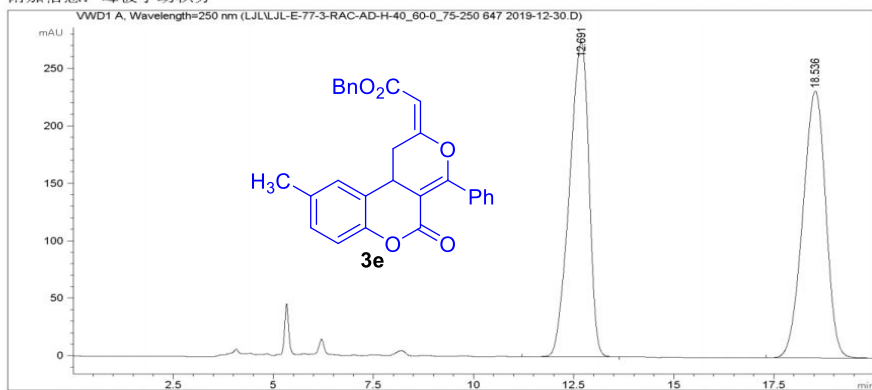
排序 : 信号
 乘积因子 : 1.0000
 稀释因子 : 1.0000
 内标使用乘积因子和稀释因子

信号 1: VWD1 A, Wavelength=250 nm

峰 #	保留时间 [min]	类型	峰宽 [min]	峰面积 [mAU*s]	峰高 [mAU]	峰面积 %
1	12.207	BB	0.4539	1.44656e4	497.91467	94.1834
2	17.632	BBA	0.7600	893.36340	18.34962	5.8166

数据文件: C:\CHEM32\1\DATA\LJL\LJL-E-77-3-RAC-AD-H-40_60-0_75-250_647_2019-12-30.D
 样品名称: 1j1-e-77-3-RAC-AD-H-40/60-0.75-250

操作者 : 系统
 仪器 : 1260
 进样日期 : 2019-12-30 9:39:08
 位置 : 样品瓶 1
 进样量 : 没有进样
 采集方法 : C:\CHEM32\1\METHODS\TEST.M
 最后修改 : 2019-12-30 9:27:51 : 系统
 (调用后修改)
 分析方法 : C:\CHEM32\1\METHODS\TEST.M
 最后修改 : 2019-12-27 10:44:45 : 系统
 附加信息: 峰被手动积分



面积百分比报告

排序 : 信号
 乘积因子 : 1.0000
 稀释因子 : 1.0000
 内标使用乘积因子和稀释因子

信号 1: VWD1 A, Wavelength=250 nm

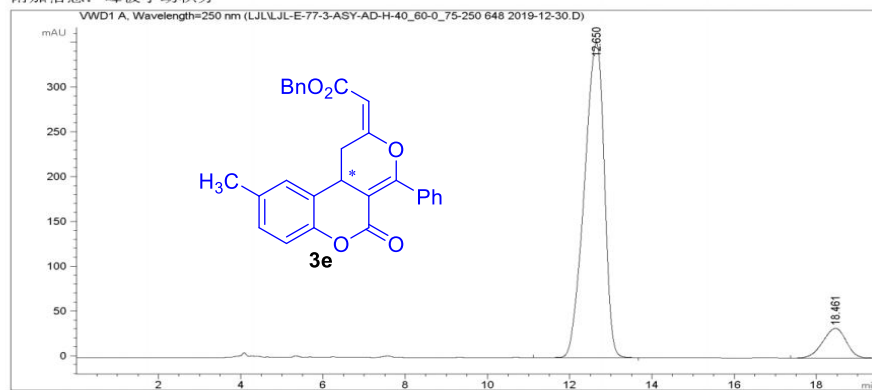
峰 #	保留时间 [min]	类型	峰宽 [min]	峰面积 [mAU*s]	峰高 [mAU]	峰面积 %
1	12.691	BB	0.5288	9254.33105	273.44775	50.0557
2	18.536	BBA	0.6248	9233.73730	232.26074	49.9443

1260 2019-12-30 11:34:45 系统

页 1/2

数据文件: C:\CHEM32\1\DATA\LJL\LJL-E-77-3-ASY-AD-H-40_60-0_75-250_648_2019-12-30.D
 样品名称: 1j1-e-77-3-ASY-AD-H-40/60-0.75-250

操作者 : 系统
 仪器 : 1260
 进样日期 : 2019-12-30 10:00:43
 位置 : 样品瓶 1
 进样量 : 没有进样
 采集方法 : C:\CHEM32\1\METHODS\TEST.M
 最后修改 : 2019-12-30 9:27:51 : 系统
 (调用后修改)
 分析方法 : C:\CHEM32\1\METHODS\TEST.M
 最后修改 : 2019-12-27 10:44:45 : 系统
 附加信息: 峰被手动积分



面积百分比报告

排序 : 信号
 乘积因子 : 1.0000
 稀释因子 : 1.0000
 内标使用乘积因子和稀释因子

信号 1: VWD1 A, Wavelength=250 nm

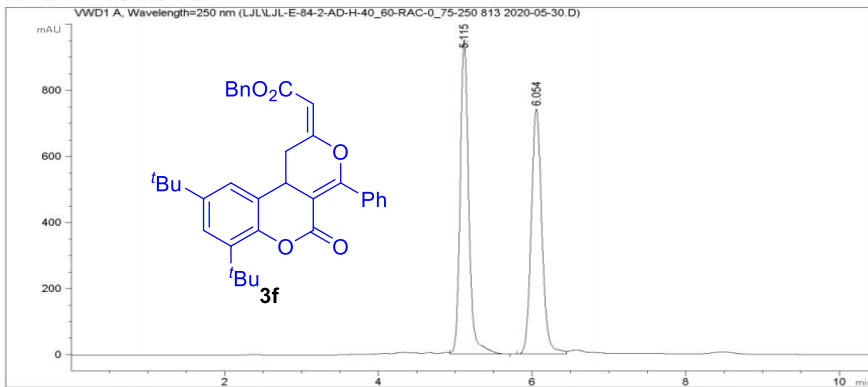
峰 #	保留时间 [min]	类型	峰宽 [min]	峰面积 [mAU*s]	峰高 [mAU]	峰面积 %
1	12.650	BB	0.5276	1.18320e4	351.61151	90.0583
2	18.461	BBA	0.6150	1306.15039	33.12396	9.9417

1260 2019-12-30 11:38:08 系统

页 1/2

数据文件: C:\CHEM32\1\DATA\LJL\LJL-E-84-2-AD-H-40_60-RAC-0_75-250 813 2020-05-30.D
 样品名称: LJL-E-84-2-AD-H-40/60-rac-0.75-250

操作者 : 系统
 仪器 : 1260
 进样日期 : 2020-5-30 15:55:38
 位置 : 样品瓶 1
 进样量 : 没有进样
 采集方法 : C:\CHEM32\1\METHODS\DEF_LC.M
 最后修改 : 2020-5-30 15:05:28 : 系统
 (调用后修改)
 分析方法 : C:\CHEM32\1\METHODS\DEF_LC.M
 附加信息: 峰被手动积分



面积百分比报告

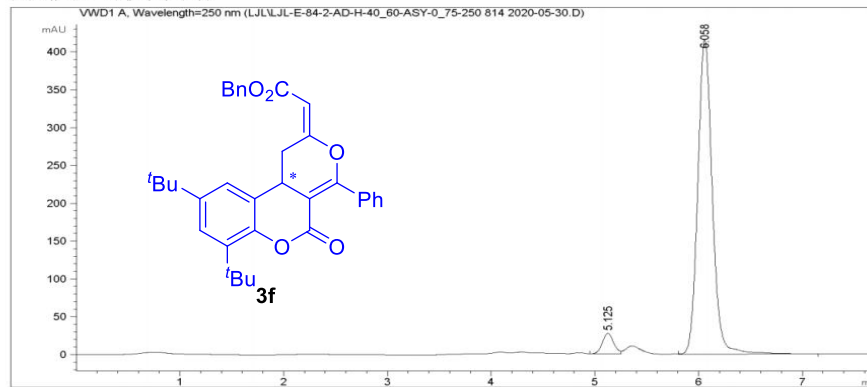
排序 : 信号
 乘积因子 : 1.0000
 稀释因子 : 1.0000
 内标使用乘积因子和稀释因子

信号 1: VWD1 A, Wavelength=250 nm

峰 #	保留时间 [min]	类型	峰宽 [min]	峰面积 [mAU*s]	峰高 [mAU]	峰面积 %
1	5.115	VB	0.1182	7350.38867	950.79443	50.8212
2	6.054	BV	0.1479	7112.83740	741.40869	49.1788

数据文件: C:\CHEM32\1\DATA\LJL\LJL-E-84-2-AD-H-40_60-ASY-0_75-250 814 2020-05-30.D
 样品名称: LJL-E-84-2-AD-H-40/60-asy-0.75-250

操作者 : 系统
 仪器 : 1260
 进样日期 : 2020-5-30 16:06:43
 位置 : 样品瓶 1
 进样量 : 没有进样
 采集方法 : C:\CHEM32\1\METHODS\DEF_LC.M
 最后修改 : 2020-5-30 15:05:28 : 系统
 (调用后修改)
 分析方法 : C:\CHEM32\1\METHODS\DEF_LC.M
 附加信息: 峰被手动积分



面积百分比报告

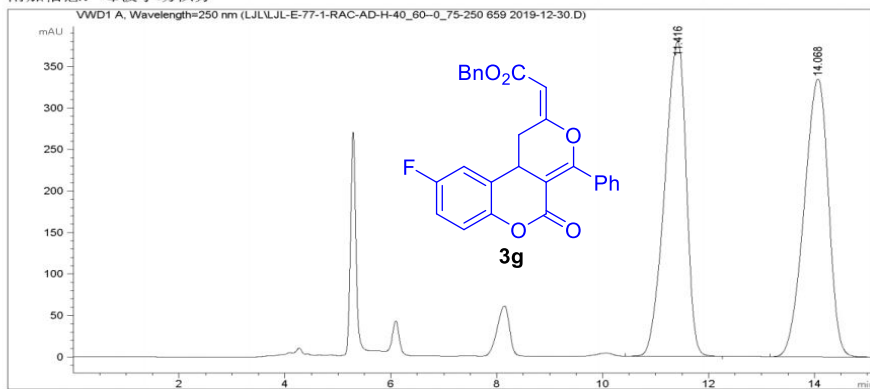
排序 : 信号
 乘积因子 : 1.0000
 稀释因子 : 1.0000
 内标使用乘积因子和稀释因子

信号 1: VWD1 A, Wavelength=250 nm

峰 #	保留时间 [min]	类型	峰宽 [min]	峰面积 [mAU*s]	峰高 [mAU]	峰面积 %
1	5.125	BV	0.1168	204.84067	27.21048	4.8293
2	6.058	VB	0.1493	4036.81982	415.63434	95.1707

数据文件: C:\CHEM32\1\DATA\LJL\LJL-E-77-1-RAC-AD-H-40_60--0.75-250 659 2019-12-30.D
 样品名称: LJL-E-77-1-RAC-AD-H-40/60--0.75-250

操作者 : 系统
 仪器 : 1260 位置 : 样品瓶 1
 进样日期 : 2019-12-30 16:01:38
 进样量 : 没有进样
 采集方法 : C:\CHEM32\1\METHODS\TEST.M
 最后修改 : 2019-12-30 15:49:06 : 系统
 (调用后修改)
 分析方法 : C:\CHEM32\1\METHODS\TEST.M
 最后修改 : 2019-12-27 10:44:45 : 系统
 附加信息: 峰被手动积分



面积百分比报告

排序 : 信号
 乘积因子 : 1.0000
 稀释因子 : 1.0000
 内标使用乘积因子和稀释因子

信号 1: VWD1 A, Wavelength=250 nm

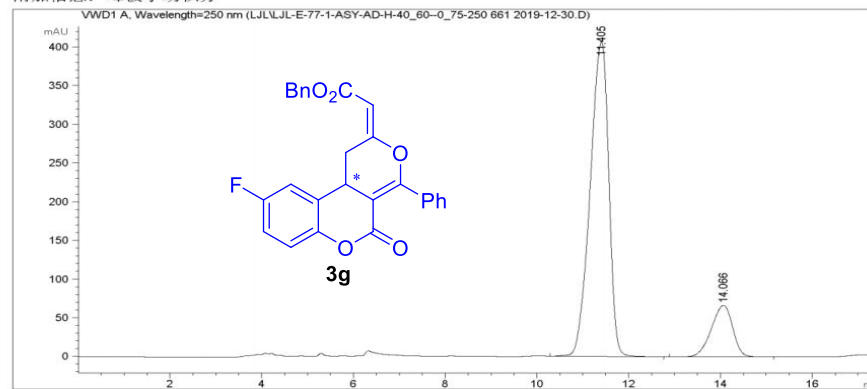
峰 #	保留时间 [min]	类型	峰宽 [min]	峰面积 [mAU*s]	峰高 [mAU]	峰面积 %
1	11.416	BB	0.4429	1.06745e4	378.70020	50.0769
2	14.068	BBA	0.5011	1.06417e4	334.55179	49.9231

1260 2019-12-30 17:08:48 系统

页 1/2

数据文件: C:\CHEM32\1\DATA\LJL\LJL-E-77-1-ASY-AD-H-40_60--0.75-250 661 2019-12-30.D
 样品名称: LJL-E-77-1-ASY-AD-H-40/60--0.75-250

操作者 : 系统
 仪器 : 1260 位置 : 样品瓶 1
 进样日期 : 2019-12-30 16:38:03
 进样量 : 没有进样
 采集方法 : C:\CHEM32\1\METHODS\TEST.M
 最后修改 : 2019-12-30 15:49:06 : 系统
 (调用后修改)
 分析方法 : C:\CHEM32\1\METHODS\TEST.M
 最后修改 : 2019-12-27 10:44:45 : 系统
 附加信息: 峰被手动积分



面积百分比报告

排序 : 信号
 乘积因子 : 1.0000
 稀释因子 : 1.0000
 内标使用乘积因子和稀释因子

信号 1: VWD1 A, Wavelength=250 nm

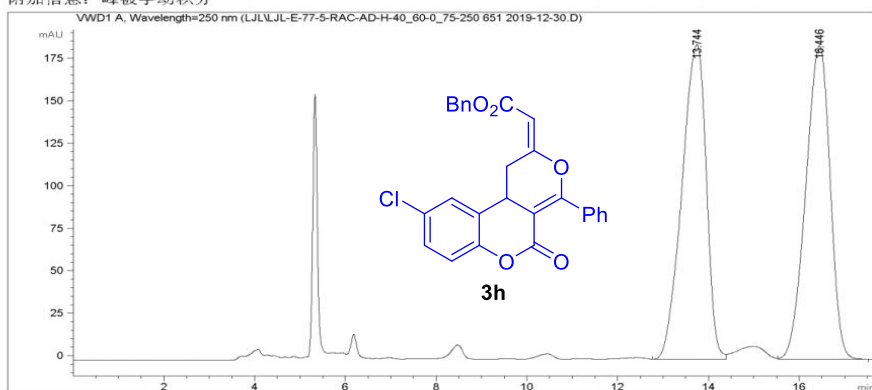
峰 #	保留时间 [min]	类型	峰宽 [min]	峰面积 [mAU*s]	峰高 [mAU]	峰面积 %
1	11.405	BB	0.4427	1.14646e4	406.88049	84.3072
2	14.066	BB	0.5057	2134.00732	66.27591	15.6928

1260 2019-12-30 17:09:18 系统

页 1/2

数据文件: C:\CHEM32\1\DATA\LJL\LJL-E-77-5-RAC-AD-H-40_60-0_75-250_651_2019-12-30.D
 样品名称: 1j1-e-77-5-RAC-AD-H-40/60-0.75-250

操作者 : 系统
 仪器 : 1260 位置 : 样品瓶 1
 进样日期 : 2019-12-30 11:08:52
 进样量 : 没有进样
 采集方法 : C:\CHEM32\1\METHODS\TEST.M
 最后修改 : 2019-12-30 9:27:51 : 系统
 (调用后修改)
 分析方法 : C:\CHEM32\1\METHODS\TEST.M
 最后修改 : 2019-12-27 10:44:45 : 系统
 附加信息: 峰被手动积分



面积百分比报告

排序 : 信号
 乘积因子 : 1.0000
 稀释因子 : 1.0000
 内标使用乘积因子和稀释因子

信号 1: VWD1 A, Wavelength=250 nm

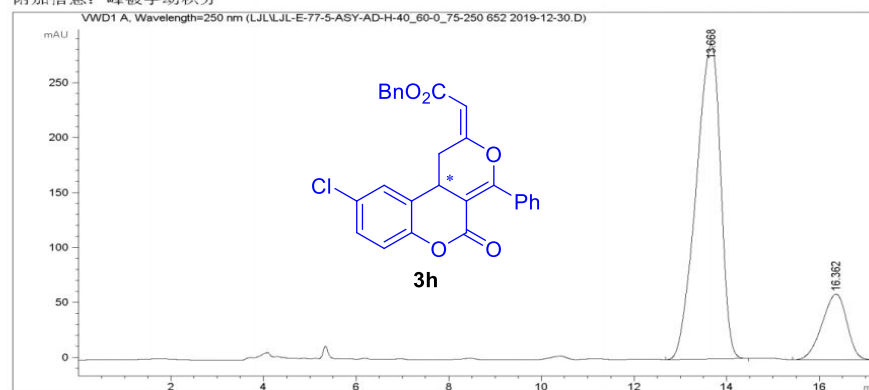
峰 #	保留时间 [min]	类型	峰宽 [min]	峰面积 [mAU*s]	峰高 [mAU]	峰面积 %
1	13.744	BV	0.5856	6888.02686	184.91417	50.0832
2	16.446	VB	0.5856	6865.13135	184.27557	49.9168

1260 2019-12-30 11:38:54 系统

页 1/2

数据文件: C:\CHEM32\1\DATA\LJL\LJL-E-77-5-ASY-AD-H-40_60-0_75-250_652_2019-12-30.D
 样品名称: 1j1-e-77-5-ASY-AD-H-40/60-0.75-250

操作者 : 系统
 仪器 : 1260 位置 : 样品瓶 1
 进样日期 : 2019-12-30 11:28:12
 进样量 : 没有进样
 采集方法 : C:\CHEM32\1\METHODS\TEST.M
 最后修改 : 2019-12-30 9:27:51 : 系统
 (调用后修改)
 分析方法 : C:\CHEM32\1\METHODS\TEST.M
 最后修改 : 2019-12-27 10:44:45 : 系统
 附加信息: 峰被手动积分



面积百分比报告

排序 : 信号
 乘积因子 : 1.0000
 稀释因子 : 1.0000
 内标使用乘积因子和稀释因子

信号 1: VWD1 A, Wavelength=250 nm

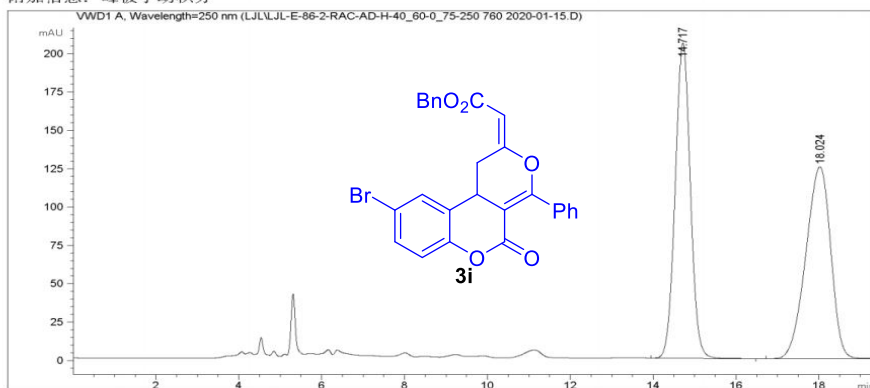
峰 #	保留时间 [min]	类型	峰宽 [min]	峰面积 [mAU*s]	峰高 [mAU]	峰面积 %
1	13.668	BB	0.5767	1.05095e4	285.98181	82.6201
2	16.362	BBA	0.5810	2210.77344	59.70735	17.3799

1260 2019-12-30 11:46:38 系统

页 1/2

数据文件: C:\CHEM32\1\DATA\LJL\LJL-E-86-2-RAC-AD-H-40_60-0_75-250 760 2020-01-15.D
 样品名称: 1j1-e-86-2-rac-ad-h-40/60-0.75-250

操作者 : 系统
 仪器 : 1260 位置 : 样品瓶 1
 进样日期 : 2020-1-15 16:50:12
 进样量 : 没有进样
 采集方法 : C:\CHEM32\1\METHODS\DEF_LC.M
 最后修改 : 2020-1-15 16:22:53 : 系统
 (调用后修改)
 分析方法 : C:\CHEM32\1\METHODS\DEF_LC.M
 附加信息: 峰被手动积分



面积百分比报告

排序 : 信号
 乘积因子 : 1.0000
 稀释因子 : 1.0000
 内标使用乘积因子和稀释因子

信号 1: VWD1 A, Wavelength=250 nm

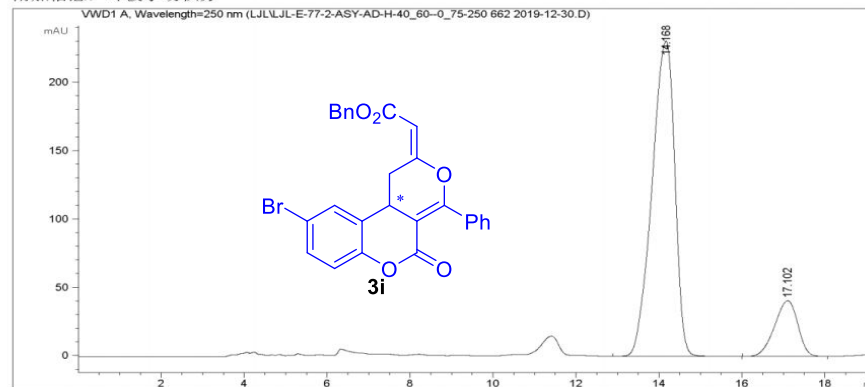
峰 #	保留时间 [min]	类型	峰宽 [min]	峰面积 [mAU*s]	峰高 [mAU]	峰面积 %
1	14.717	BB	0.3935	5224.42041	205.56592	50.0855
2	18.024	BBA	0.6541	5206.57617	124.96338	49.9145

1260 2020-5-29 21:56:31 系统

页 1/2

数据文件: C:\CHEM32\1\DATA\LJL\LJL-E-77-2-ASY-AD-H-40_60--0_75-250 662 2019-12-30.D
 样品名称: LJL-E-77-2-ASY-AD-H-40/60--0.75-250

操作者 : 系统
 仪器 : 1260 位置 : 样品瓶 1
 进样日期 : 2019-12-30 16:58:07
 进样量 : 没有进样
 采集方法 : C:\CHEM32\1\METHODS\TEST.M
 最后修改 : 2019-12-30 15:49:06 : 系统
 (调用后修改)
 分析方法 : C:\CHEM32\1\METHODS\TEST.M
 最后修改 : 2019-12-27 10:44:45 : 系统
 附加信息: 峰被手动积分



面积百分比报告

排序 : 信号
 乘积因子 : 1.0000
 稀释因子 : 1.0000
 内标使用乘积因子和稀释因子

信号 1: VWD1 A, Wavelength=250 nm

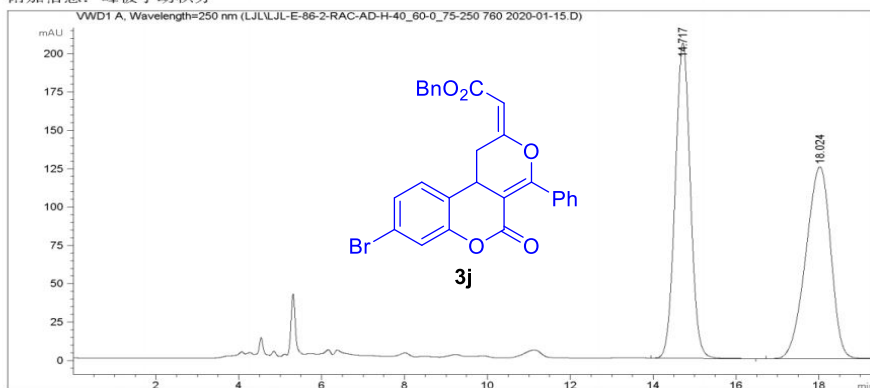
峰 #	保留时间 [min]	类型	峰宽 [min]	峰面积 [mAU*s]	峰高 [mAU]	峰面积 %
1	14.168	BB	0.6011	8797.71680	230.58594	84.7841
2	17.102	BB	0.6113	1578.89478	40.72634	15.2159

1260 2019-12-30 17:19:56 系统

页 1/2

数据文件: C:\CHEM32\1\DATA\LJL\LJL-E-86-2-RAC-AD-H-40_60-0_75-250 760 2020-01-15.D
 样品名称: 1j1-e-86-2-rac-ad-h-40/60-0.75-250

操作者 : 系统
 仪器 : 1260 位置 : 样品瓶 1
 进样日期 : 2020-1-15 16:50:12
 进样量 : 没有进样
 采集方法 : C:\CHEM32\1\METHODS\DEF_LC.M
 最后修改 : 2020-1-15 16:22:53 : 系统
 (调用后修改)
 分析方法 : C:\CHEM32\1\METHODS\DEF_LC.M
 附加信息: 峰被手动积分



面积百分比报告

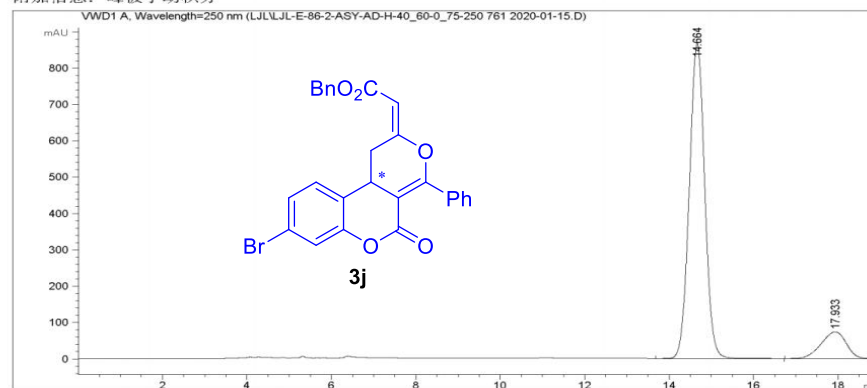
排序 : 信号
 乘积因子 : 1.0000
 稀释因子 : 1.0000
 内标使用乘积因子和稀释因子

信号 1: VWD1 A, Wavelength=250 nm

峰 #	保留时间 [min]	类型	峰宽 [min]	峰面积 [mAU*s]	峰高 [mAU]	峰面积 %
1	14.717	BB	0.3935	5224.42041	205.56592	50.0855
2	18.024	BBA	0.6541	5206.57617	124.96338	49.9145

数据文件: C:\CHEM32\1\DATA\LJL\LJL-E-86-2-ASY-AD-H-40_60-0_75-250 761 2020-01-15.D
 样品名称: 1j1-e-86-2-asy-ad-h-40/60-0.75-250

操作者 : 系统
 仪器 : 1260 位置 : 样品瓶 1
 进样日期 : 2020-1-15 17:10:35
 进样量 : 没有进样
 采集方法 : C:\CHEM32\1\METHODS\DEF_LC.M
 最后修改 : 2020-1-15 16:22:53 : 系统
 (调用后修改)
 分析方法 : C:\CHEM32\1\METHODS\DEF_LC.M
 附加信息: 峰被手动积分



面积百分比报告

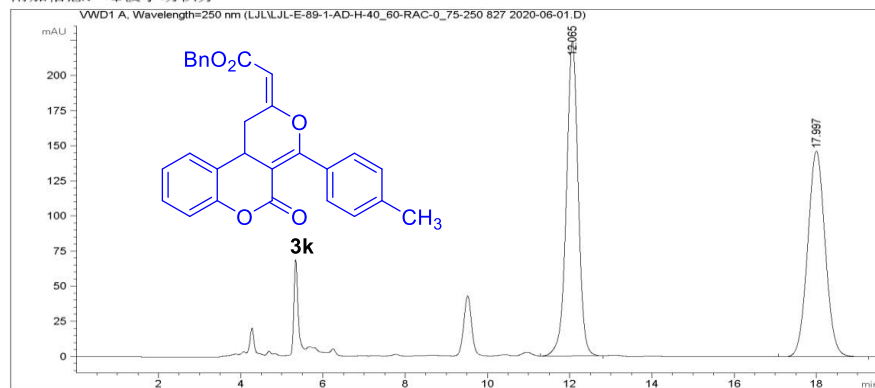
排序 : 信号
 乘积因子 : 1.0000
 稀释因子 : 1.0000
 内标使用乘积因子和稀释因子

信号 1: VWD1 A, Wavelength=250 nm

峰 #	保留时间 [min]	类型	峰宽 [min]	峰面积 [mAU*s]	峰高 [mAU]	峰面积 %
1	14.664	BB	0.3931	2.19542e4	867.99646	87.8843
2	17.933	BBA	0.6500	3026.60913	73.25381	12.1157

数据文件: C:\CHEM32\1\DATA\LJL\LJL-E-89-1-AD-H-40_60-RAC-0_75-250 827 2020-06-01.D
 样品名称: LJL-E-89-1-AD-H-40/60-rac-0.75-250

操作者 : 系统
 位置 : 样品瓶 1
 进样日期 : 2020-6-1 9:33:59
 方法 : C:\CHEM32\1\METHODS\DEF_LC.M
 附加信息: 峰被手动积分



面积百分比报告

排序 : 信号
 乘积因子 : 1.0000
 稀释因子 : 1.0000
 内标使用乘积因子和稀释因子

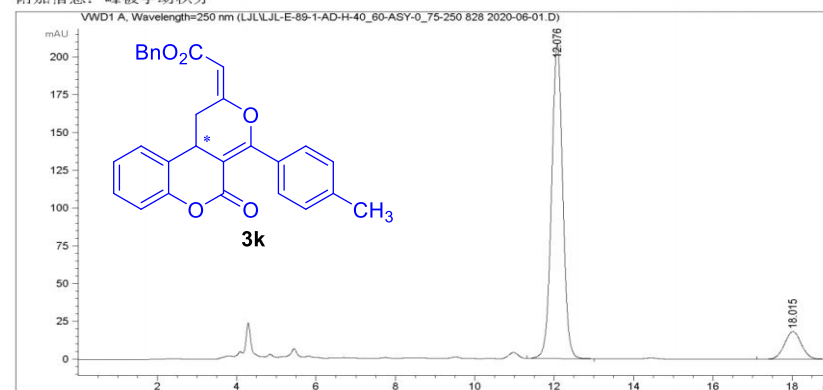
信号 1: VWD1 A, Wavelength=250 nm

峰 #	保留时间 [min]	类型	峰宽 [min]	峰面积 [mAU*s]	峰高 [mAU]	峰面积 %
1	12.065	BB	0.3069	4483.33887	223.66631	50.7598
2	17.997	BB	0.4594	4349.11328	146.47058	49.2402

总量 : 8832.45215 370.13689

数据文件: C:\CHEM32\1\DATA\LJL\LJL-E-89-1-AD-H-40_60-ASY-0_75-250 828 2020-06-01.D
 样品名称: LJL-E-89-1-AD-H-40/60-asy-0.75-250

操作者 : 系统
 位置 : 样品瓶 1
 仪器 : 1260
 进样日期 : 2020-6-1 9:54:20
 进样量 : 没有进样
 采集方法 : C:\CHEM32\1\METHODS\DEF_LC.M
 最后修改 : 2020-6-1 9:14:49 : 系统
 (调用后修改)
 分析方法 : C:\CHEM32\1\METHODS\DEF_LC.M
 附加信息: 峰被手动积分



面积百分比报告

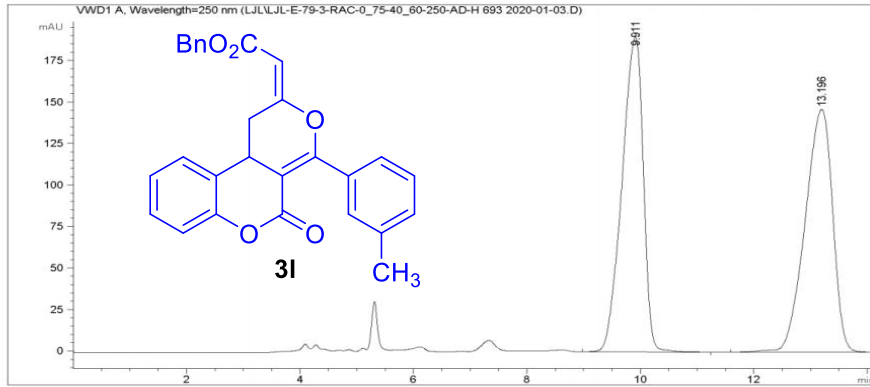
排序 : 信号
 乘积因子 : 1.0000
 稀释因子 : 1.0000
 内标使用乘积因子和稀释因子

信号 1: VWD1 A, Wavelength=250 nm

峰 #	保留时间 [min]	类型	峰宽 [min]	峰面积 [mAU*s]	峰高 [mAU]	峰面积 %
1	12.076	BB	0.3021	4070.86206	208.21954	88.2262
2	18.015	BB	0.4596	543.25537	18.28586	11.7738

数据文件: C:\CHEM32\1\DATA\LJL\LJL-E-79-3-RAC-0_75-40_60-250-AD-H 693 2020-01-03.D
 样品名称: 1j1-e-79-3-rac-0.75-40/60-250-ad-h

操作者 : 系统
 仪器 : 1260
 进样日期 : 2020-1-3 20:36:03
 位置 : 样品瓶 1
 进样量 : 没有进样
 采集方法 : C:\CHEM32\1\METHODS\DEF_LC.M
 最后修改 : 2020-1-3 19:14:27 : 系统
 (调用后修改)
 分析方法 : C:\CHEM32\1\METHODS\DEF_LC.M
 附加信息: 峰被手动积分



面积百分比报告

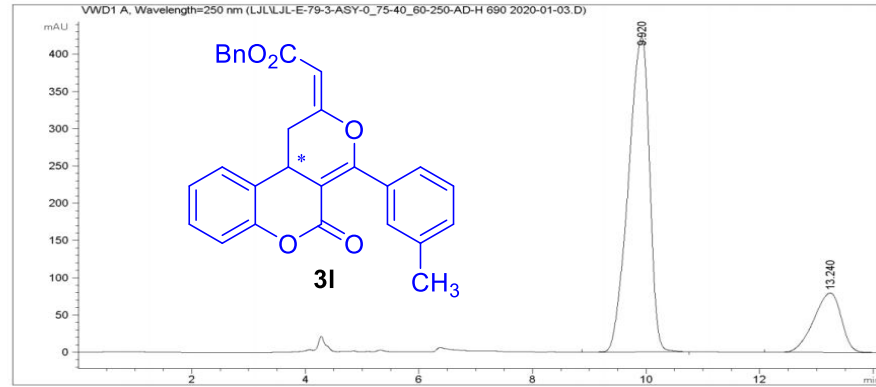
排序 : 信号
 乘积因子 : 1.0000
 稀释因子 : 1.0000
 内标使用乘积因子和稀释因子

信号 1: VWD1 A, Wavelength=250 nm

峰 #	保留时间 [min]	类型	峰宽 [min]	峰面积 [mAU*s]	峰高 [mAU]	峰面积 %
1	9.911	BB	0.4083	4945.97461	189.60741	50.0824
2	13.196	BBA	0.5293	4929.70898	146.24007	49.9176

数据文件: C:\CHEM32\1\DATA\LJL\LJL-E-79-3-ASY-0_75-40_60-250-AD-H 690 2020-01-03.D
 样品名称: 1j1-e-79-3-asy-0.75-40/60-250-ad-h

操作者 : 系统
 仪器 : 1260
 进样日期 : 2020-1-3 19:40:33
 位置 : 样品瓶 1
 进样量 : 没有进样
 采集方法 : C:\CHEM32\1\METHODS\DEF_LC.M
 最后修改 : 2020-1-3 19:14:27 : 系统
 (调用后修改)
 分析方法 : C:\CHEM32\1\METHODS\DEF_LC.M
 附加信息: 峰被手动积分



面积百分比报告

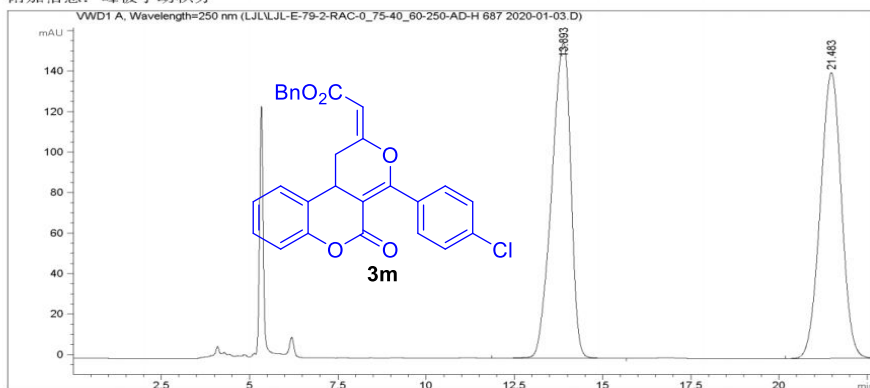
排序 : 信号
 乘积因子 : 1.0000
 稀释因子 : 1.0000
 内标使用乘积因子和稀释因子

信号 1: VWD1 A, Wavelength=250 nm

峰 #	保留时间 [min]	类型	峰宽 [min]	峰面积 [mAU*s]	峰高 [mAU]	峰面积 %
1	9.920	BB	0.4069	1.09385e4	422.69073	80.2480
2	13.240	BBA	0.5288	2692.37695	79.77031	19.7520

数据文件: C:\CHEM32\1\DATA\LJL\LJL-E-79-2-RAC-0_75-40_60-250-AD-H 687 2020-01-03.D
 样品名称: 1j1-e-79-2-rac-0.75-40/60-250-ad-h

操作者 : 系统
 仪器 : 1260 位置 : 样品瓶 1
 进样日期 : 2020-1-3 16:57:38 进样量 : 没有进样
 采集方法 : C:\CHEM32\1\METHODS\DEF_LC.M
 最后修改 : 2020-1-3 15:58:14 : 系统 (调用后修改)
 分析方法 : C:\CHEM32\1\METHODS\DEF_LC.M
 附加信息: 峰被手动积分



面积百分比报告

排序 : 信号
 乘积因子 : 1.0000
 稀释因子 : 1.0000
 内标使用乘积因子和稀释因子

信号 1: VWD1 A, Wavelength=250 nm

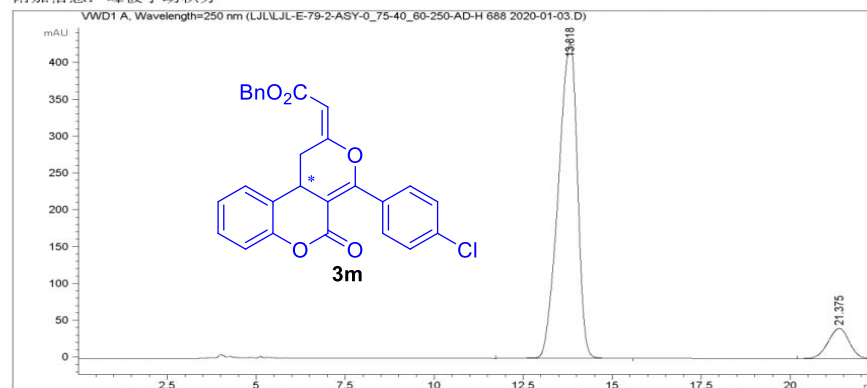
峰 #	保留时间 [min]	类型	峰宽 [min]	峰面积 [mAU*s]	峰高 [mAU]	峰面积 %
1	13.893	BB	0.5920	5888.79834	155.79689	50.1767
2	21.483	BBA	0.6456	5847.31250	141.06619	49.8233

1260 2020-1-3 20:41:48 系统

页 1/2

数据文件: C:\CHEM32\1\DATA\LJL\LJL-E-79-2-ASY-0_75-40_60-250-AD-H 688 2020-01-03.D
 样品名称: 1j1-e-79-2-asy-0.75-40/60-250-ad-h

操作者 : 系统
 仪器 : 1260 位置 : 样品瓶 1
 进样日期 : 2020-1-3 17:21:50 进样量 : 没有进样
 采集方法 : C:\CHEM32\1\METHODS\DEF_LC.M
 最后修改 : 2020-1-3 15:58:14 : 系统 (调用后修改)
 分析方法 : C:\CHEM32\1\METHODS\DEF_LC.M
 附加信息: 峰被手动积分



面积百分比报告

排序 : 信号
 乘积因子 : 1.0000
 稀释因子 : 1.0000
 内标使用乘积因子和稀释因子

信号 1: VWD1 A, Wavelength=250 nm

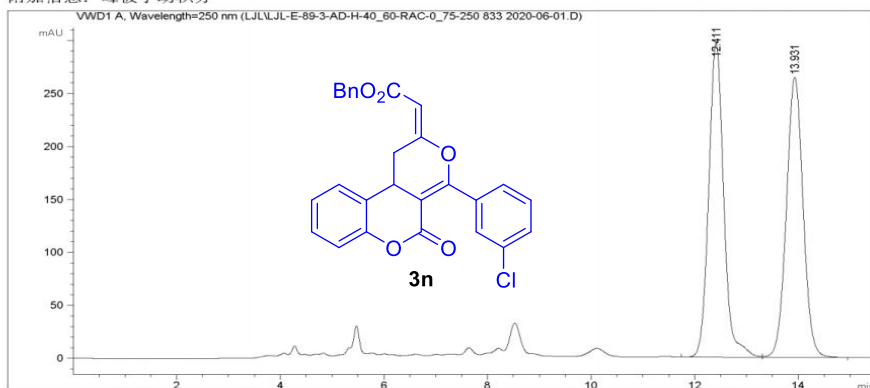
峰 #	保留时间 [min]	类型	峰宽 [min]	峰面积 [mAU*s]	峰高 [mAU]	峰面积 %
1	13.818	BB	0.5853	1.59864e4	428.42117	90.4598
2	21.375	BBA	0.6428	1685.96887	40.99793	9.5402

1260 2020-1-3 20:42:12 系统

页 1/2

数据文件: C:\CHEM32\1\DATA\LJL\LJL-E-89-3-AD-H-40_60-RAC-0_75-250 833 2020-06-01.D
 样品名称: LJL-E-89-3-AD-H-40/60-RAC-0.75-250

操作者 : 系统
 仪器 : 1260 位置: 样品瓶 1
 进样日期 : 2020-6-1 21:38:40
 进样量 : 没有进样
 采集方法 : C:\CHEM32\1\METHODS\DEF_LC.M
 最后修改 : 2020-6-1 21:09:55 : 系统
 (调用后修改)
 分析方法 : C:\CHEM32\1\METHODS\DEF_LC.M
 附加信息: 峰被手动积分



面积百分比报告

排序 : 信号
 乘积因子 : 1.0000
 稀释因子 : 1.0000
 内标使用乘积因子和稀释因子

信号 1: VWD1 A, Wavelength=250 nm

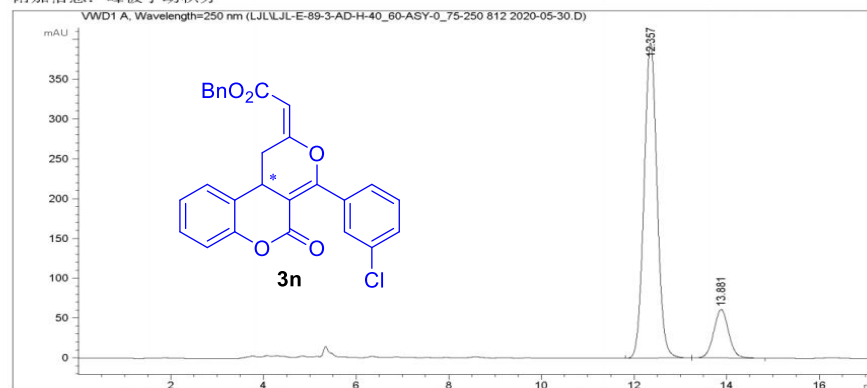
峰 #	保留时间 [min]	类型	峰宽 [min]	峰面积 [mAU*s]	峰高 [mAU]	峰面积 %
1	12.411	BV	0.3094	5986.52441	296.64508	50.2369
2	13.931	VB	0.3466	5930.05566	264.42966	49.7631

1260 2020-6-1 22:01:36 系统

页 1/2

数据文件: C:\CHEM32\1\DATA\LJL\LJL-E-89-3-AD-H-40_60-ASY-0_75-250 812 2020-05-30.D
 样品名称: LJL-E-89-3-AD-H-40/60-asy-0.75-250

操作者 : 系统
 仪器 : 1260 位置: 样品瓶 1
 进样日期 : 2020-5-30 15:36:10
 进样量 : 没有进样
 采集方法 : C:\CHEM32\1\METHODS\DEF_LC.M
 最后修改 : 2020-5-30 15:05:28 : 系统
 (调用后修改)
 分析方法 : C:\CHEM32\1\METHODS\DEF_LC.M
 附加信息: 峰被手动积分



面积百分比报告

排序 : 信号
 乘积因子 : 1.0000
 稀释因子 : 1.0000
 内标使用乘积因子和稀释因子

信号 1: VWD1 A, Wavelength=250 nm

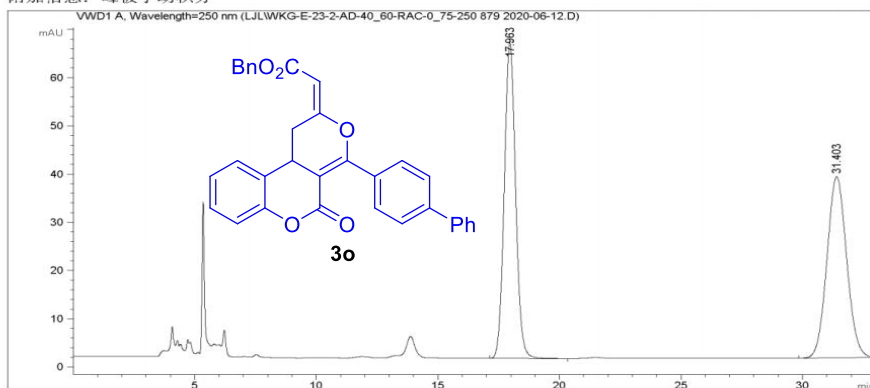
峰 #	保留时间 [min]	类型	峰宽 [min]	峰面积 [mAU*s]	峰高 [mAU]	峰面积 %
1	12.357	BB	0.3012	7706.71143	395.76303	84.8987
2	13.881	BB	0.3470	1371.89966	61.09722	15.1113

1260 2020-6-1 22:02:23 系统

页 1/2

数据文件: C:\CHEM32\1\DATA\LJL\WKG-E-23-2-AD-40_60-RAC-0_75-250_879_2020-06-12.D
 样品名称: wkg-e-23-2-ad-40/60-rac-0.75-250

操作者 : 系统
 仪器 : 1260 位置 : 样品瓶 1
 进样日期 : 2020-6-12 10:26:09
 进样量 : 没有进样
 采集方法 : C:\CHEM32\1\METHODS\DEF_LC.M
 最后修改 : 2020-6-12 10:17:05 : 系统
 (调用后修改)
 分析方法 : C:\CHEM32\1\METHODS\DEF_LC.M
 附加信息: 峰被手动积分



面积百分比报告

排序 : 信号
 乘积因子 : 1.0000
 稀释因子 : 1.0000
 内标使用乘积因子和稀释因子

信号 1: VWD1 A, Wavelength=250 nm

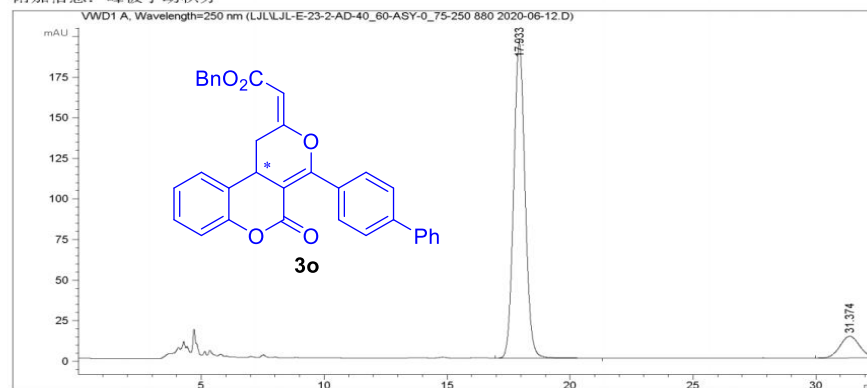
峰 #	保留时间 [min]	类型	峰宽 [min]	峰面积 [mAU*s]	峰高 [mAU]	峰面积 %
1	17.963	BB	0.5013	2120.28345	65.39682	50.1111
2	31.403	BBA	0.8707	2110.87891	37.55721	49.8889

1260 2020-6-12 11:32:27 系统

页 1/2

数据文件: C:\CHEM32\1\DATA\LJL\LJI-E-23-2-AD-40_60-ASY-0_75-250_880_2020-06-12.D
 样品名称: 1j1-e-23-2-ad-40/60-asy-0.75-250

操作者 : 系统
 仪器 : 1260 位置 : 样品瓶 1
 进样日期 : 2020-6-12 11:00:08
 进样量 : 没有进样
 采集方法 : C:\CHEM32\1\METHODS\DEF_LC.M
 最后修改 : 2020-6-12 10:17:05 : 系统
 (调用后修改)
 分析方法 : C:\CHEM32\1\METHODS\DEF_LC.M
 附加信息: 峰被手动积分



面积百分比报告

排序 : 信号
 乘积因子 : 1.0000
 稀释因子 : 1.0000
 内标使用乘积因子和稀释因子

信号 1: VWD1 A, Wavelength=250 nm

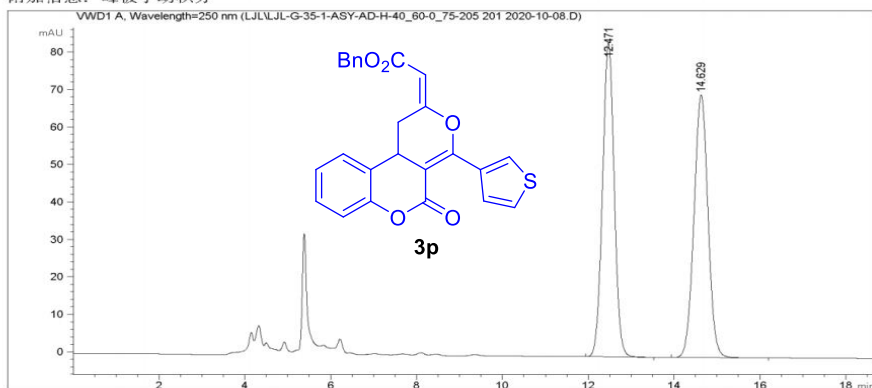
峰 #	保留时间 [min]	类型	峰宽 [min]	峰面积 [mAU*s]	峰高 [mAU]	峰面积 %
1	17.933	BB	0.4975	6262.58643	194.06117	89.4091
2	31.374	BBA	0.8491	741.83203	13.35412	10.5909

1260 2020-6-12 11:33:50 系统

页 1/2

数据文件: C:\CHEM32\1\DATA\LJL\LJL-G-35-1-ASY-AD-H-40_60-0_75-205 201 2020-10-08.D
 样品名称: 1j1-g-35-1-ASY-ad-h-40/60-0.75-205

操作者 : 系统
 仪器 : 1260 位置: 样品瓶 1
 进样日期 : 2020-10-8 15:14:13
 进样量 : 没有进样
 采集方法 : C:\CHEM32\1\METHODS\DEF_LC.M
 最后修改 : 2020-10-8 15:04:41 : 系统
 (调用后修改)
 分析方法 : C:\CHEM32\1\METHODS\DEF_LC.M
 附加信息: 峰被手动积分



面积百分比报告

排序 : 信号
 乘积因子 : 1.0000
 稀释因子 : 1.0000
 内标使用乘积因子和稀释因子

信号 1: VWD1 A, Wavelength=250 nm

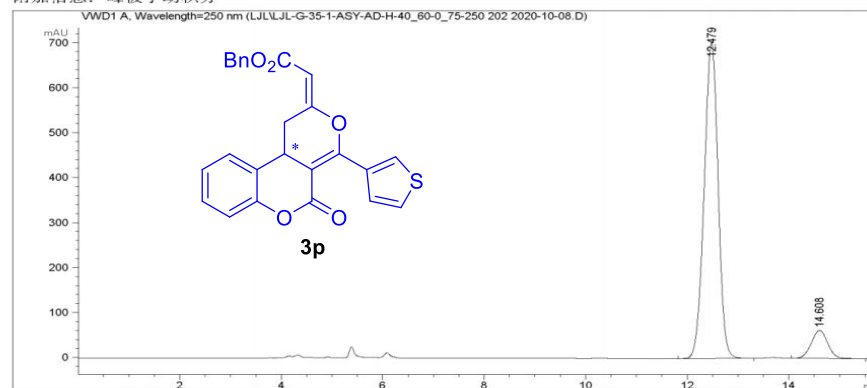
峰 #	保留时间 [min]	类型	峰宽 [min]	峰面积 [mAU*s]	峰高 [mAU]	峰面积 %
1	12.471	BB	0.2941	1586.92017	83.73536	49.9485
2	14.629	BB	0.3529	1590.19189	70.03180	50.0515

1260 2020-10-8 16:10:33 系统

页 1/2

数据文件: C:\CHEM32\1\DATA\LJL\LJL-G-35-1-ASY-AD-H-40_60-0_75-250 202 2020-10-08.D
 样品名称: 1j1-g-35-1-ASY-ad-h-40/60-0.75-250

操作者 : 系统
 仪器 : 1260 位置: 样品瓶 1
 进样日期 : 2020-10-8 15:34:46
 进样量 : 没有进样
 采集方法 : C:\CHEM32\1\METHODS\DEF_LC.M
 最后修改 : 2020-10-8 15:04:41 : 系统
 (调用后修改)
 分析方法 : C:\CHEM32\1\METHODS\DEF_LC.M
 附加信息: 峰被手动积分



面积百分比报告

排序 : 信号
 乘积因子 : 1.0000
 稀释因子 : 1.0000
 内标使用乘积因子和稀释因子

信号 1: VWD1 A, Wavelength=250 nm

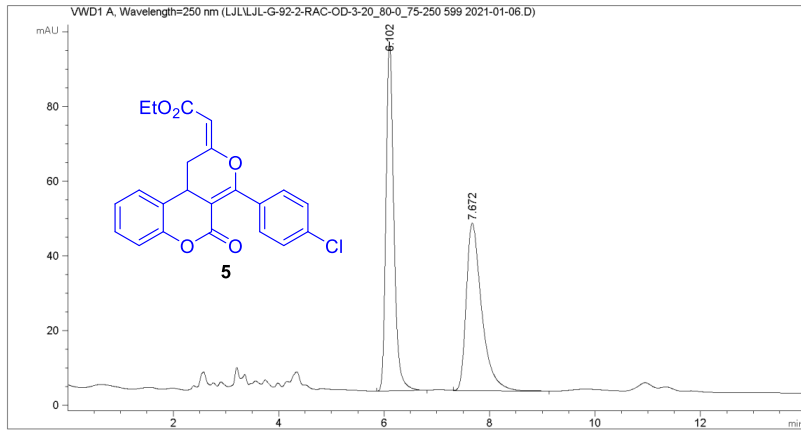
峰 #	保留时间 [min]	类型	峰宽 [min]	峰面积 [mAU*s]	峰高 [mAU]	峰面积 %
1	12.479	BB	0.2972	1.33548e4	701.34009	90.4910
2	14.608	VB	0.3489	1403.35583	62.50670	9.5090

1260 2020-10-8 16:10:19 系统

页 1/2

数据文件: C:\CHEM32\1\DATA\LJL\LJL-G-92-2-RAC-OD-3-20_80-0_75-250 599 2021-01-06.D
 样品名称: ljl-g-92-2-rac-od-3-20/80-0.75-250

操作者 : 系统
 仪器 : 1260 位置: 样品瓶 1
 进样日期 : 2021-1-6 16:02:56
 进样量 : 没有进样
 采集方法 : C:\CHEM32\1\METHODS\DEF_LC.M
 最后修改 : 2021-1-6 15:19:57 : 系统
 (调用后修改)
 分析方法 : C:\CHEM32\1\METHODS\DEF_LC.M
 附加信息: 峰被手动积分



面积百分比报告

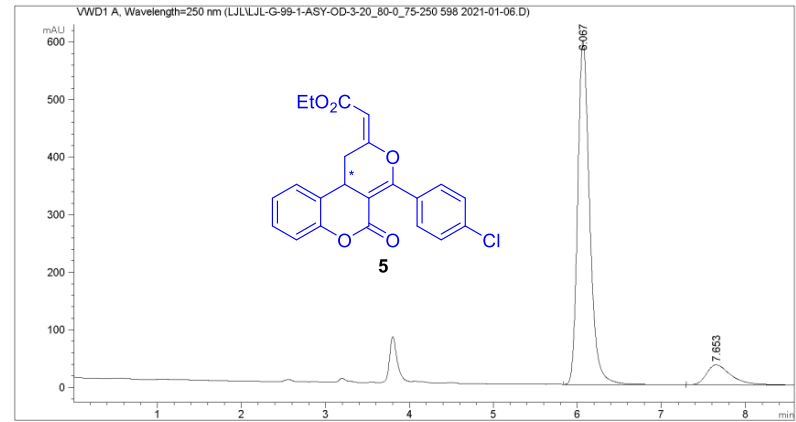
排序 : 信号
 乘积因子 : 1.0000
 稀释因子 : 1.0000
 内标使用乘积因子和稀释因子

信号 1: VWD1 A, Wavelength=250 nm

峰 #	保留时间 [min]	类型	峰宽 [min]	峰面积 [mAU*s]	峰高 [mAU]	峰面积 %
1	6.102	BB	0.1578	967.98108	93.48794	51.5435
2	7.672	VB	0.3047	910.00598	44.86181	48.4565

数据文件: C:\CHEM32\1\DATA\LJL\LJL-G-99-1-ASY-OD-3-20_80-0_75-250 598 2021-01-06.D
 样品名称: ljl-g-99-1-asy-od-3-20/80-0.75-250

操作者 : 系统
 仪器 : 1260 位置: 样品瓶 1
 进样日期 : 2021-1-6 15:53:39
 进样量 : 没有进样
 采集方法 : C:\CHEM32\1\METHODS\DEF_LC.M
 最后修改 : 2021-1-6 15:19:57 : 系统
 (调用后修改)
 分析方法 : C:\CHEM32\1\METHODS\DEF_LC.M
 附加信息: 峰被手动积分



面积百分比报告

排序 : 信号
 乘积因子 : 1.0000
 稀释因子 : 1.0000
 内标使用乘积因子和稀释因子

信号 1: VWD1 A, Wavelength=250 nm

峰 #	保留时间 [min]	类型	峰宽 [min]	峰面积 [mAU*s]	峰高 [mAU]	峰面积 %
1	6.067	VB	0.1505	5903.75146	596.50482	89.4155
2	7.653	BBA	0.3031	698.85535	34.67631	10.5845